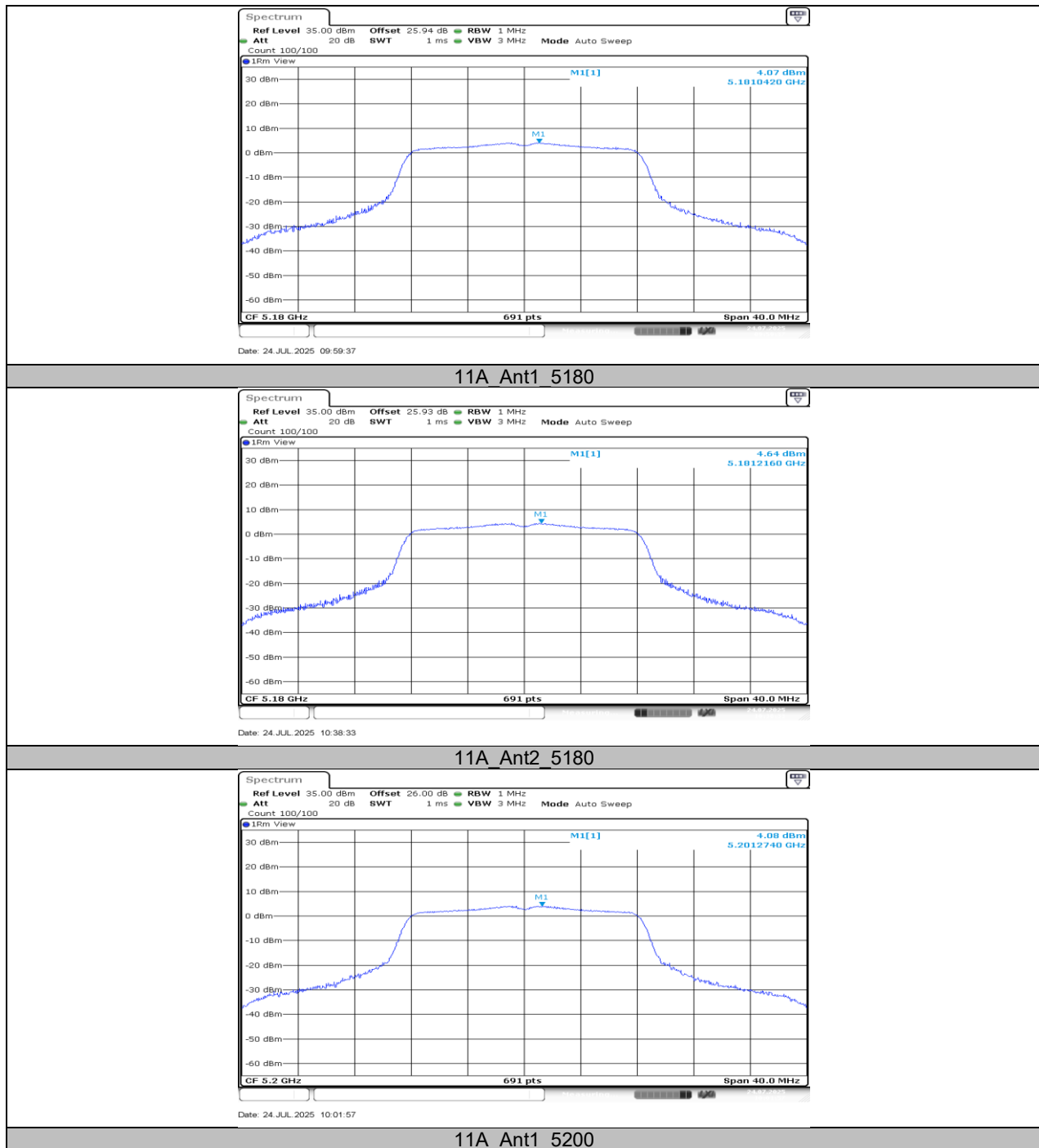


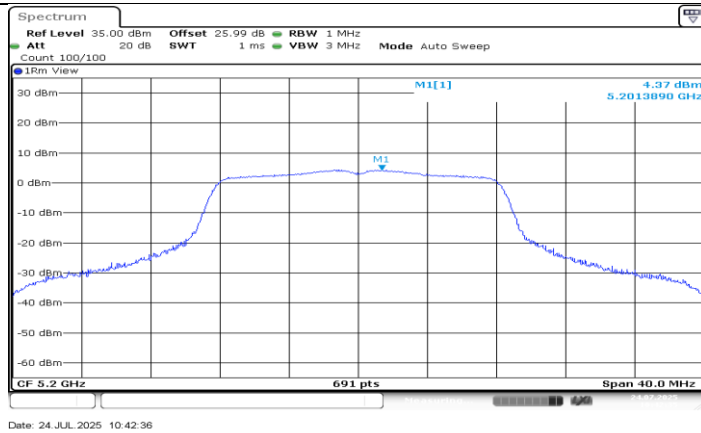
	Ant1	5310	-1.56	≤11.00	2.37	---	PASS
	Ant2	5310	-1.83	≤11.00	2.04	---	PASS
	total	5310	1.32	≤10.06	8.26	---	PASS
	Ant1	5510	-2.89	≤11.00	1.04	---	PASS
	Ant2	5510	-1.92	≤11.00	1.95	---	PASS
	total	5510	0.63	≤10.06	7.57	---	PASS
	Ant1	5550	-2.64	≤11.00	1.29	---	PASS
	Ant2	5550	-1.62	≤11.00	2.25	---	PASS
	total	5550	0.91	≤10.06	7.85	---	PASS
	Ant1	5670	-3.18	≤11.00	0.75	---	PASS
	Ant2	5670	-2.21	≤11.00	1.66	---	PASS
	total	5670	0.34	≤10.06	7.28	---	PASS
	Ant1	5710_UNII-2C	-2.83	≤11.00	1.10	---	PASS
	Ant2	5710_UNII-2C	-2.22	≤11.00	1.65	---	PASS
	total	5710_UNII-2C	0.50	≤10.06	7.44	---	PASS
	Ant1	5710_UNII-3	-8.22	≤30.00	-4.29	---	PASS
	Ant2	5710_UNII-3	-7.42	≤30.00	-3.55	---	PASS
	total	5710_UNII-3	-4.79	≤29.06	2.15	---	PASS
	Ant1	5755	-5.03	≤30.00	-1.10	---	PASS
	Ant2	5755	-4.53	≤30.00	-0.66	---	PASS
	total	5755	-1.76	≤29.06	5.18	---	PASS
	Ant1	5795	-4.43	≤30.00	-0.50	---	PASS
	Ant2	5795	-4.34	≤30.00	-0.47	---	PASS
	total	5795	-1.37	≤29.06	5.57	---	PASS
11AX80MIMO	Ant1	5210	-5.58	≤11.00	-1.65	≤10.00	PASS
	Ant2	5210	-5.18	≤11.00	-1.31	≤10.00	PASS
	total	5210	-2.37	≤10.06	4.57	≤10.00	PASS
	Ant1	5290	-5.02	≤11.00	-1.09	---	PASS
	Ant2	5290	-4.84	≤11.00	-0.97	---	PASS
	total	5290	-1.92	≤10.06	5.02	---	PASS
	Ant1	5530	-5.93	≤11.00	-2.00	---	PASS
	Ant2	5530	-5.19	≤11.00	-1.32	---	PASS
	total	5530	-2.53	≤10.06	4.41	---	PASS
	Ant1	5610	-6.20	≤11.00	-2.27	---	PASS
	Ant2	5610	-5.25	≤11.00	-1.38	---	PASS
	total	5610	-2.69	≤10.06	4.25	---	PASS
	Ant1	5690_UNII-2C	-5.80	≤11.00	-1.87	---	PASS
	Ant2	5690_UNII-2C	-5.21	≤11.00	-1.34	---	PASS
	total	5690_UNII-2C	-2.48	≤10.06	4.46	---	PASS
	Ant1	5690_UNII-3	-12.39	≤30.00	-8.46	---	PASS
	Ant2	5690_UNII-3	-11.85	≤30.00	-7.98	---	PASS
	total	5690_UNII-3	-9.10	≤29.06	-2.16	---	PASS
	Ant1	5775	-8.03	≤30.00	-4.10	---	PASS
	Ant2	5775	-7.75	≤30.00	-3.88	---	PASS
	total	5775	-4.88	≤29.06	2.06	---	PASS

Note: 1.The Result and Limit Unit is dBm/500 kHz in the band 5.725–5.85 GHz.

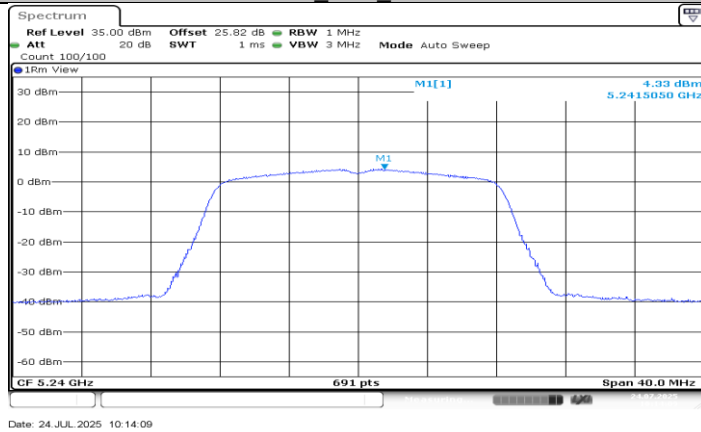
2.The Duty Cycle Factor and RBW Factor is compensated in the graph.

11.5.2. Test Graphs

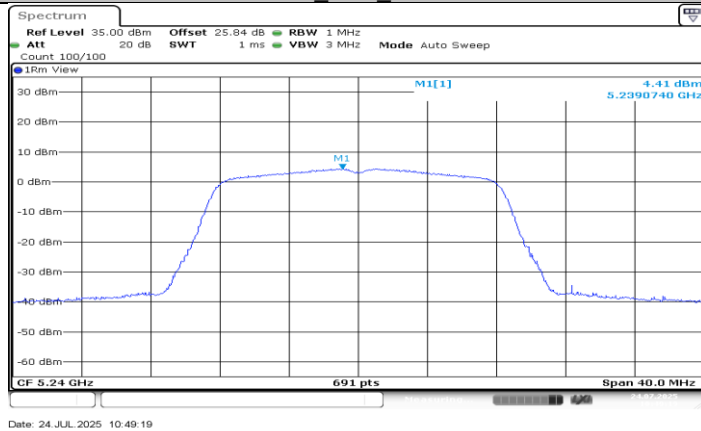




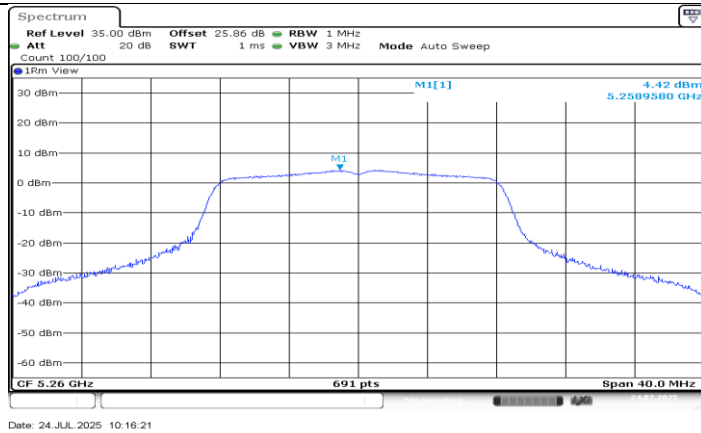
11A_Ant2_5200



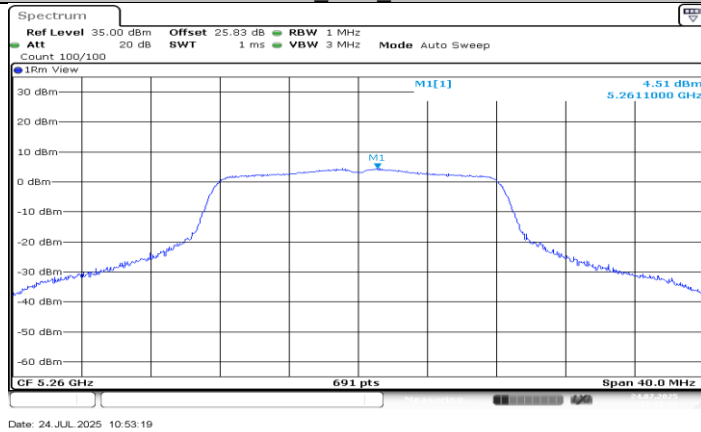
11A_Ant1_5240



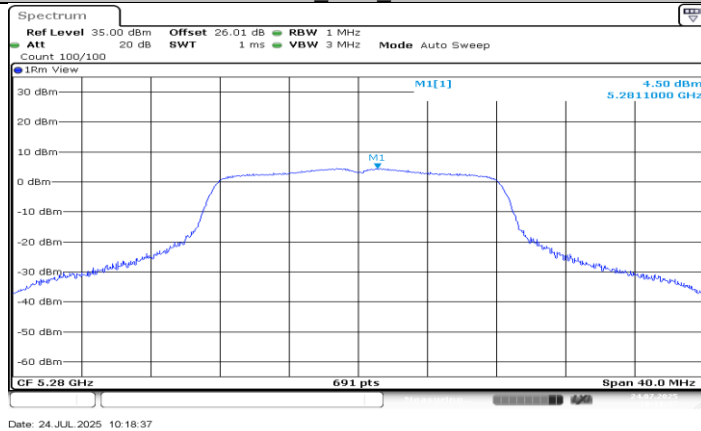
11A_Ant2_5240



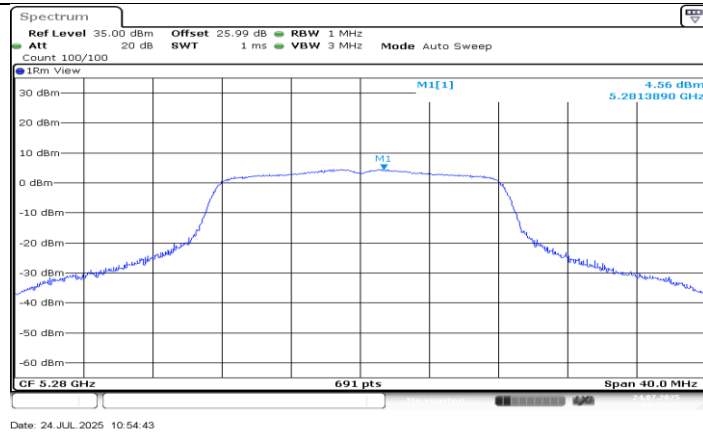
11A_Ant1_5260



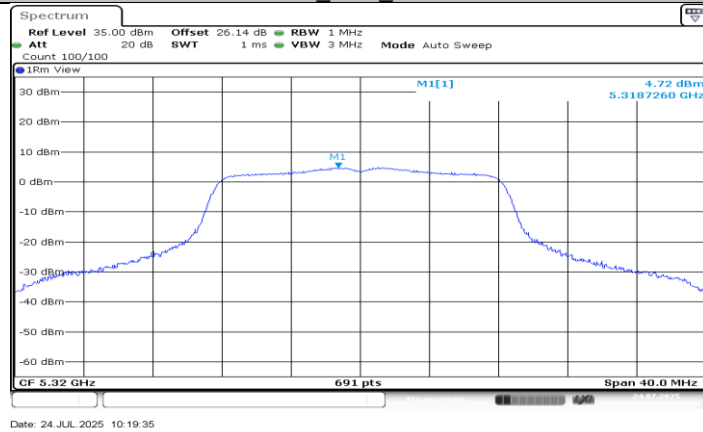
11A_Ant2_5260



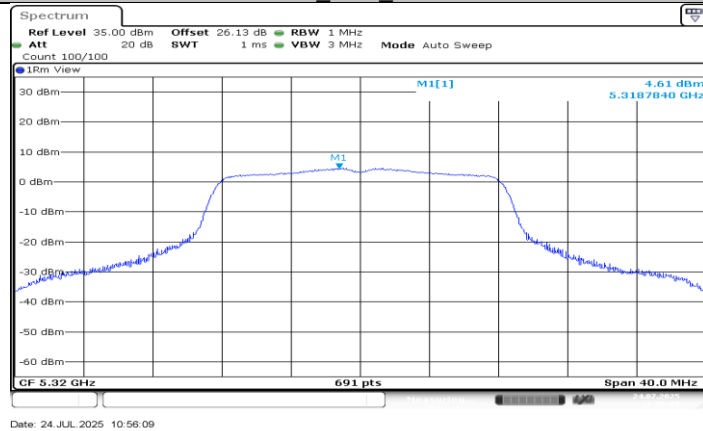
11A_Ant1_5280



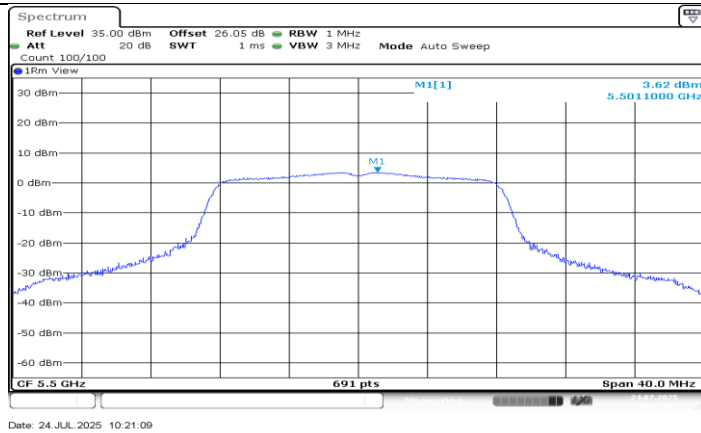
11A_Ant2_5280



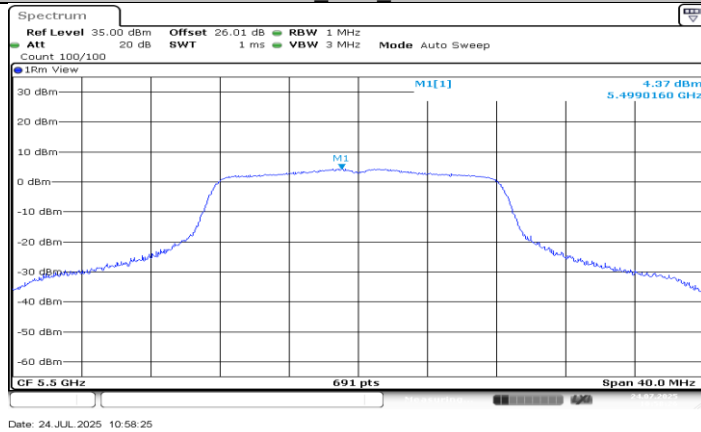
11A_Ant1_5320



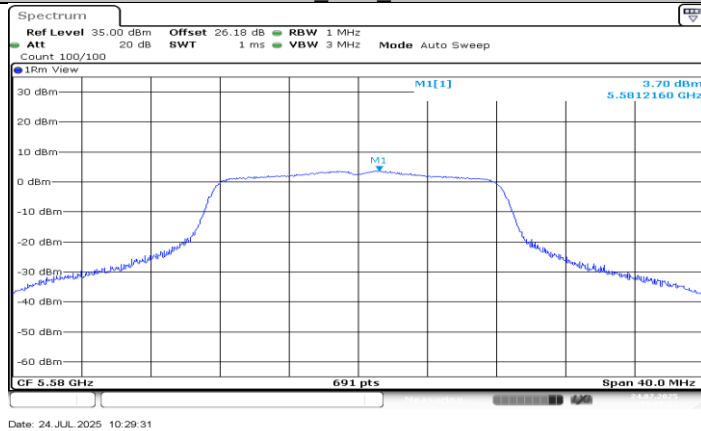
11A_Ant2_5320



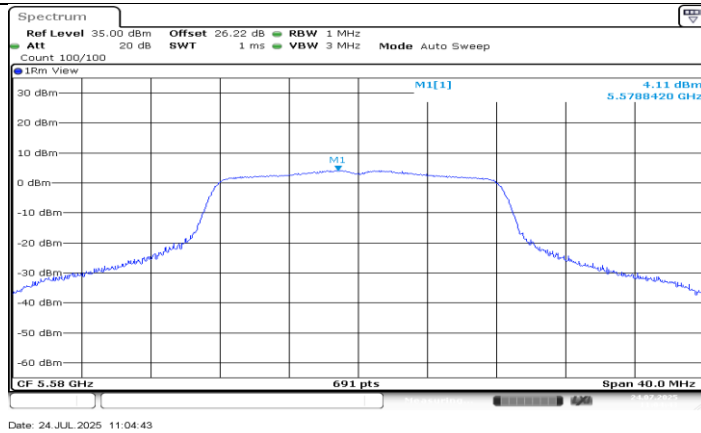
11A_Ant1_5500



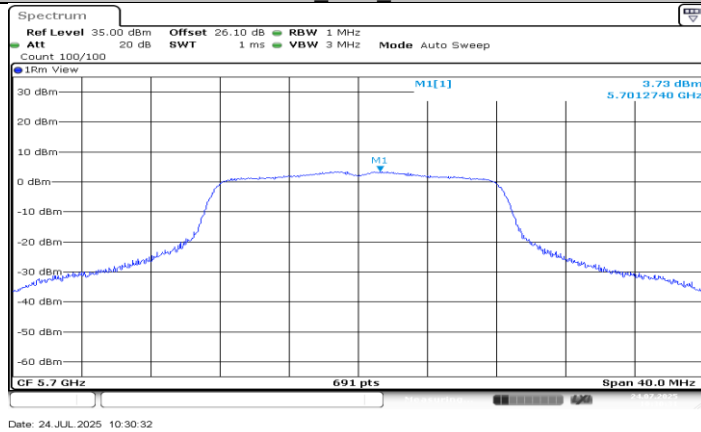
11A_Ant2_5500



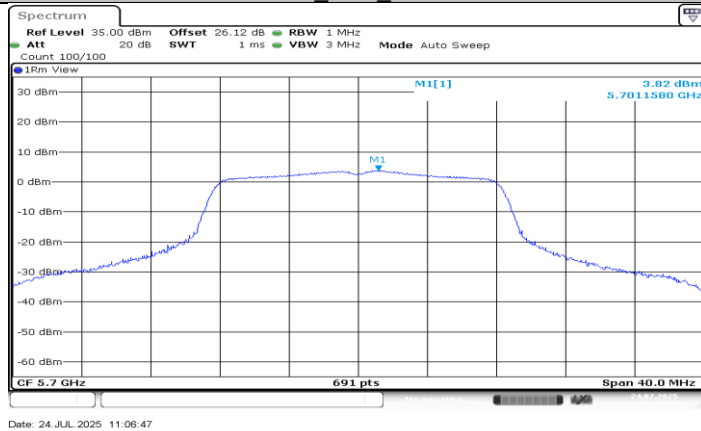
11A_Ant1_5580



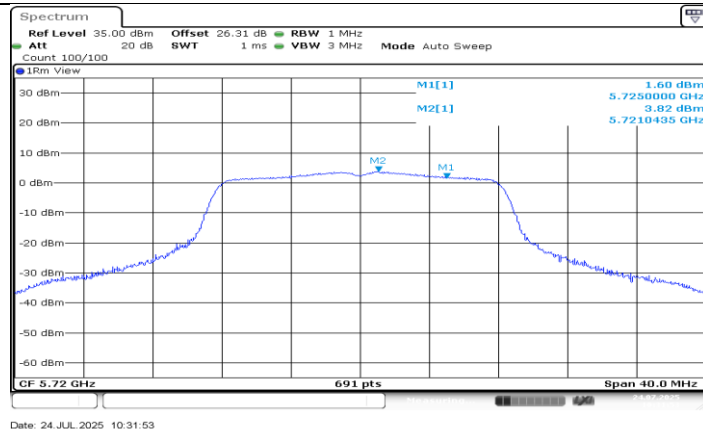
11A_Ant2_5580



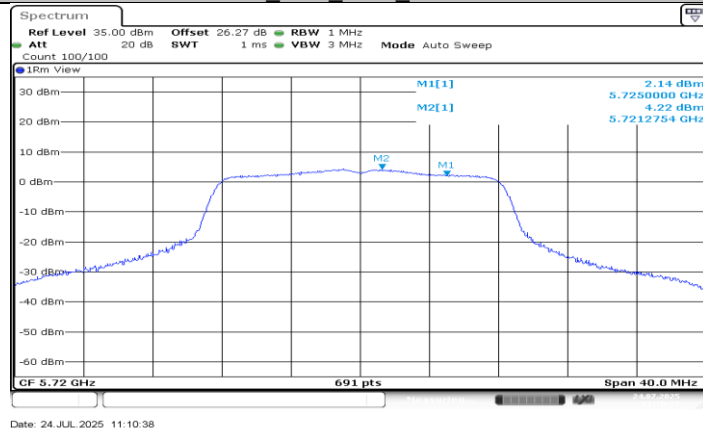
11A_Ant1_5700



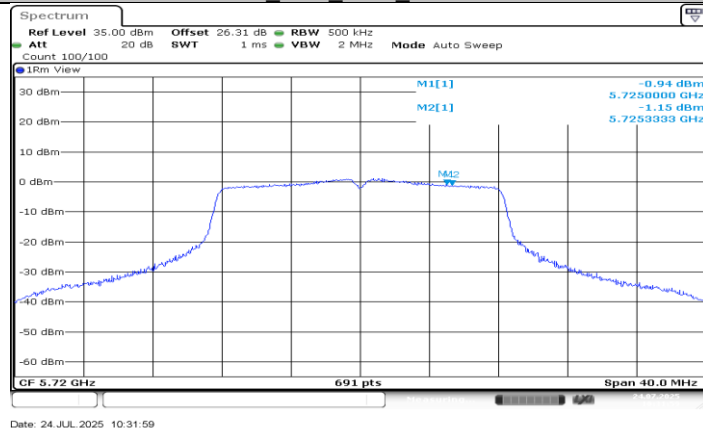
11A_Ant2_5700



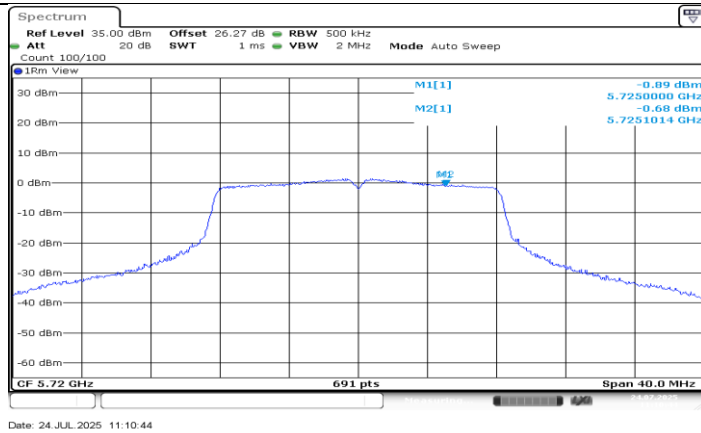
11A_Ant1_5720_UNII-2C



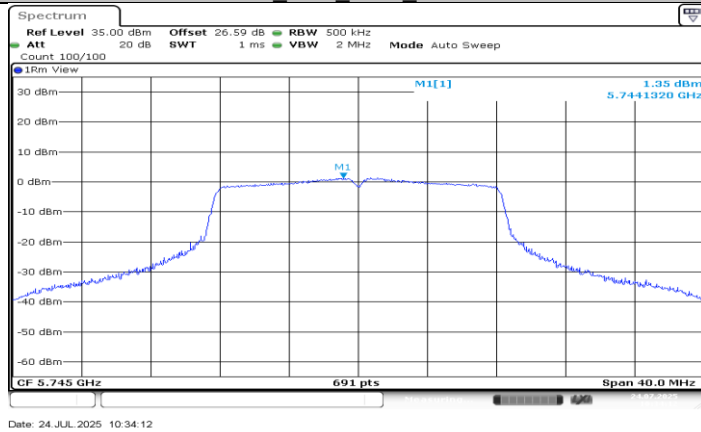
11A_Ant2_5720_UNII-2C



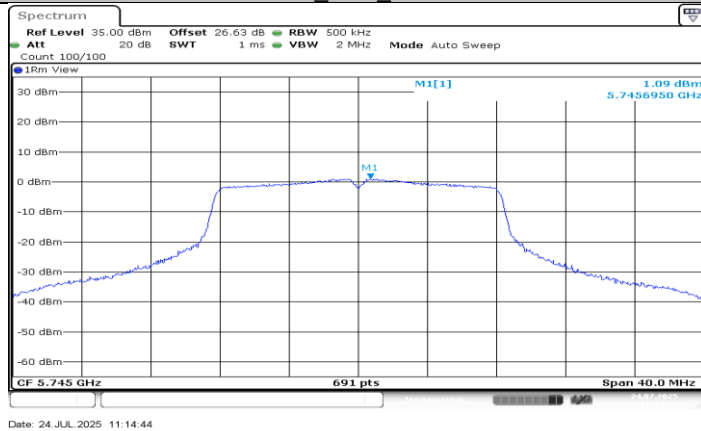
11A_Ant1_5720_UNII-3



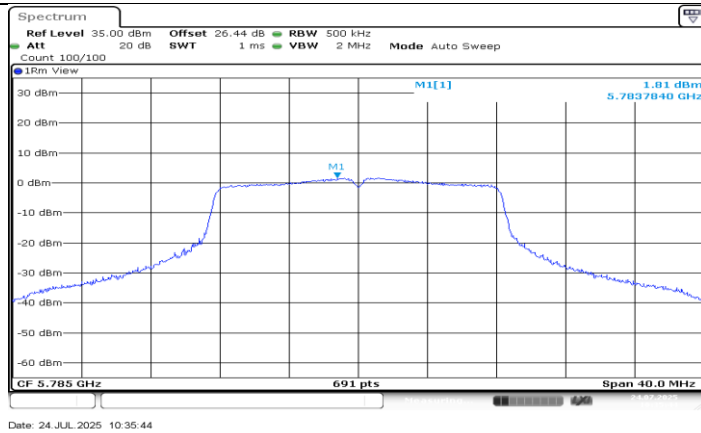
11A_Ant2_5720_UNII-3



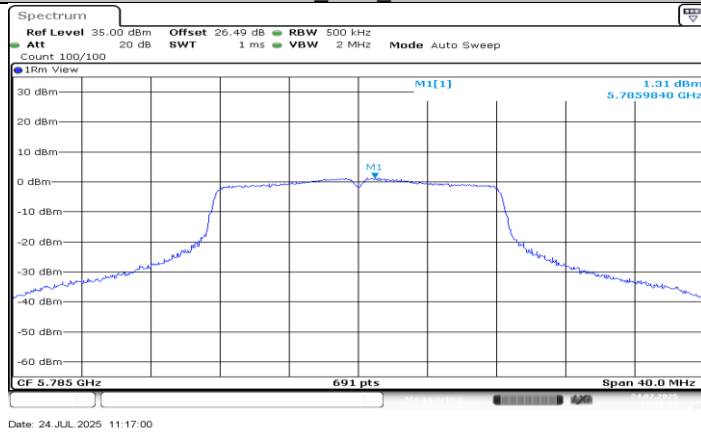
11A_Ant1_5745



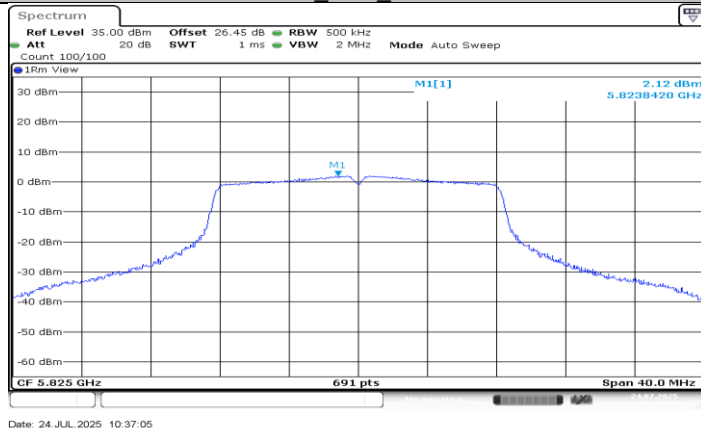
11A_Ant2_5745



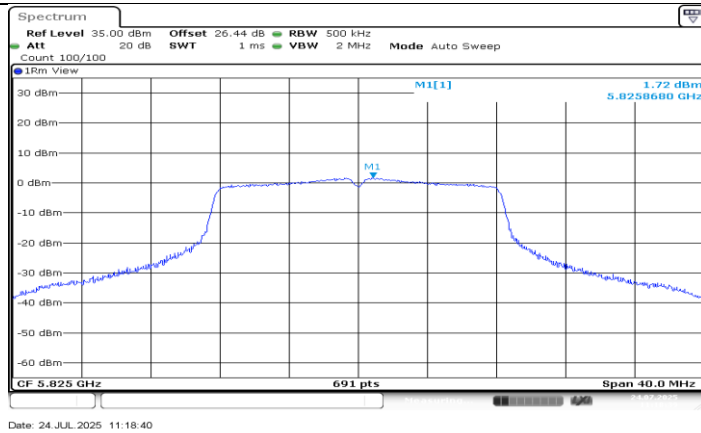
11A_Ant1_5785



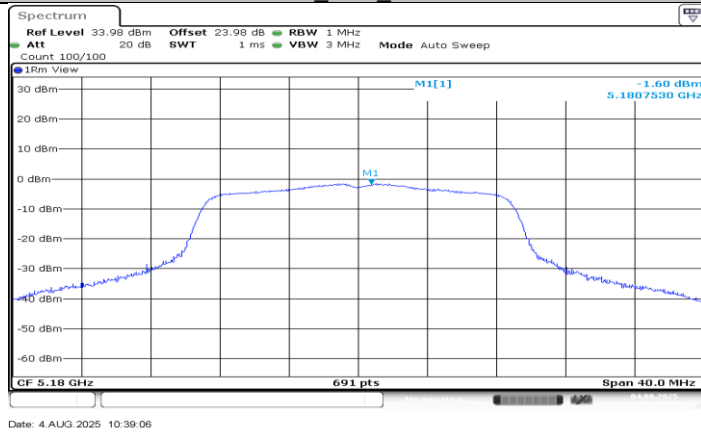
11A_Ant2_5785



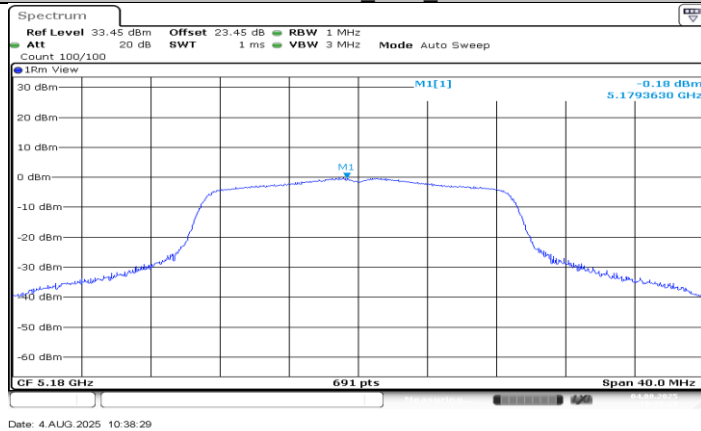
11A_Ant1_5825



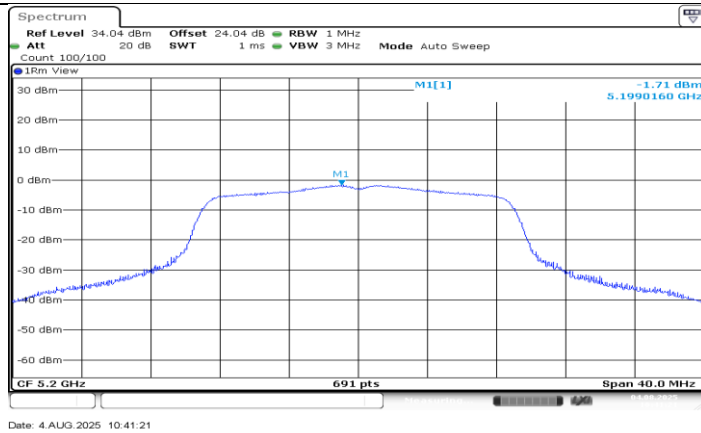
11A_Ant2_5825



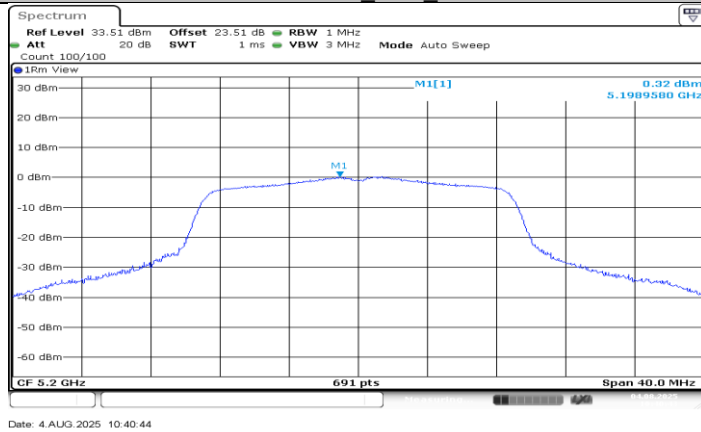
11N20MIMO_Ant1_5180



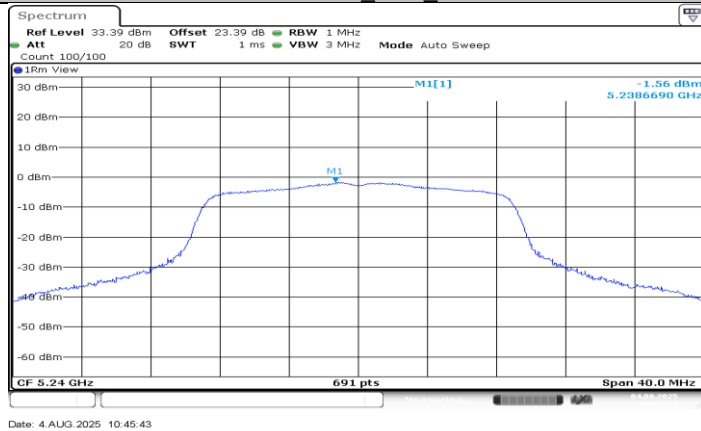
11N20MIMO_Ant2_5180



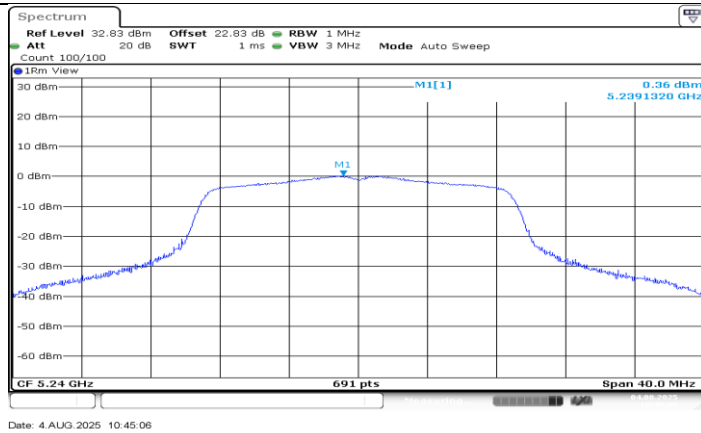
11N20MIMO_Ant1_5200



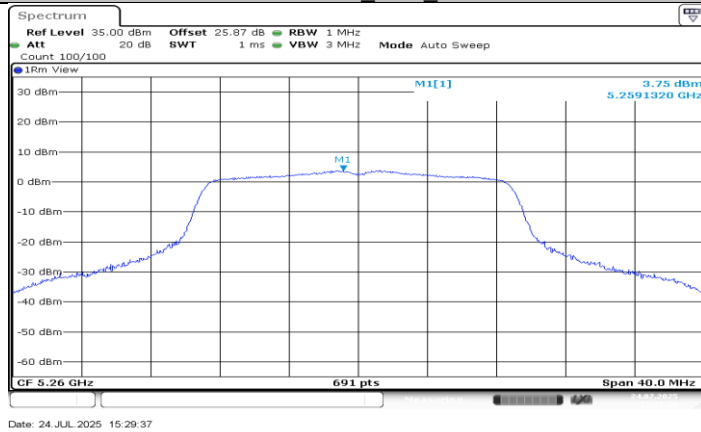
11N20MIMO_Ant2_5200



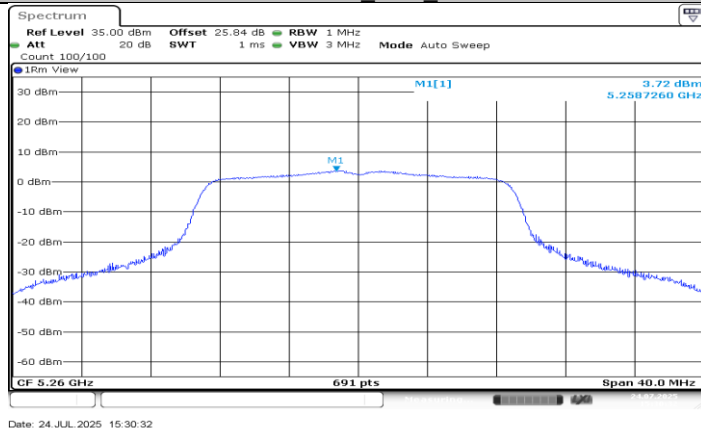
11N20MIMO_Ant1_5240



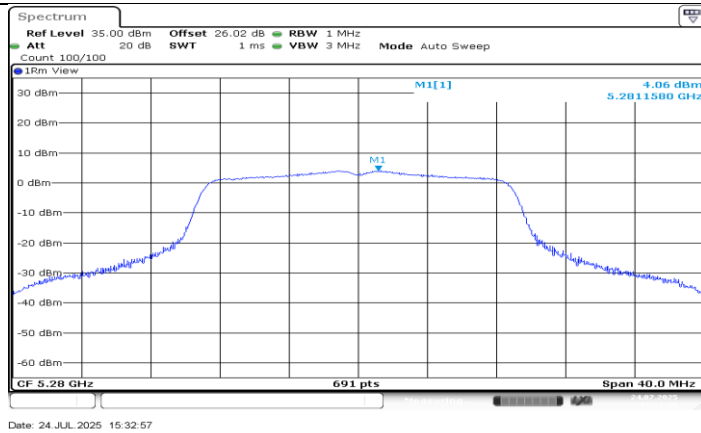
11N20MIMO_Ant2_5240



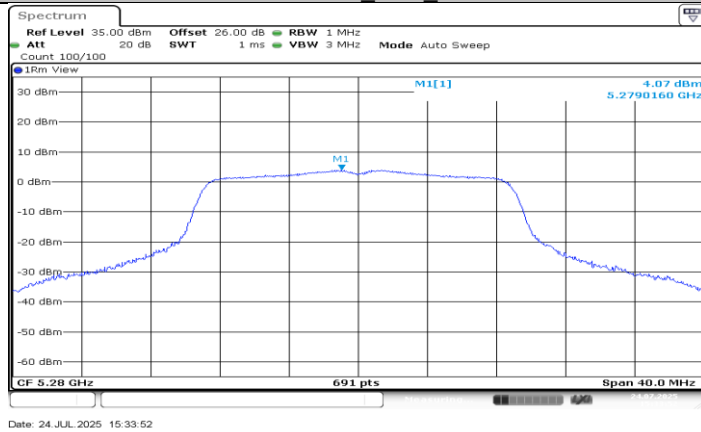
11N20MIMO_Ant1_5260



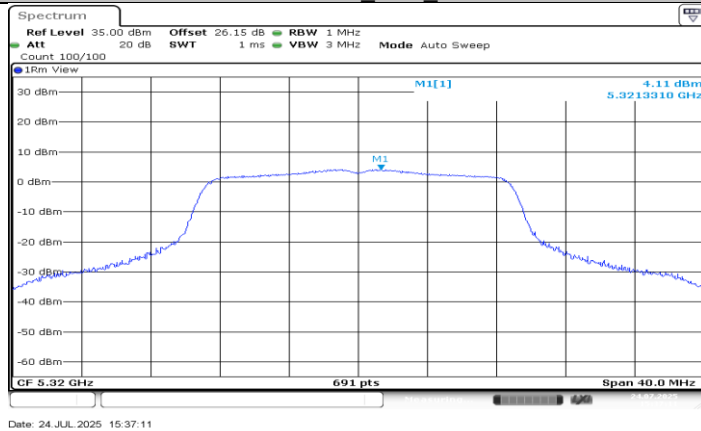
11N20MIMO_Ant2_5260



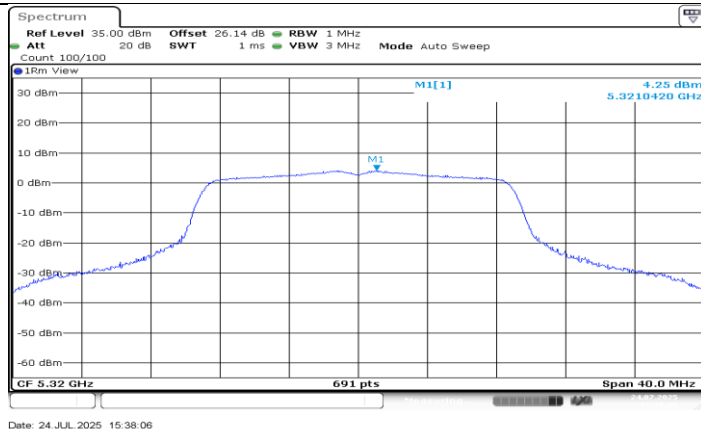
11N20MIMO_Ant1_5280



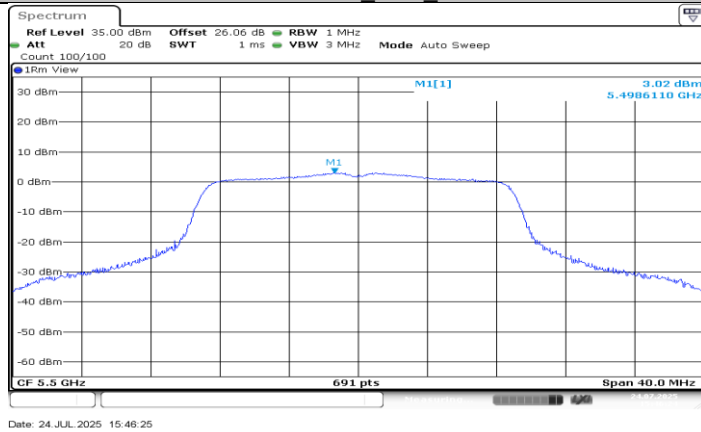
11N20MIMO_Ant2_5280



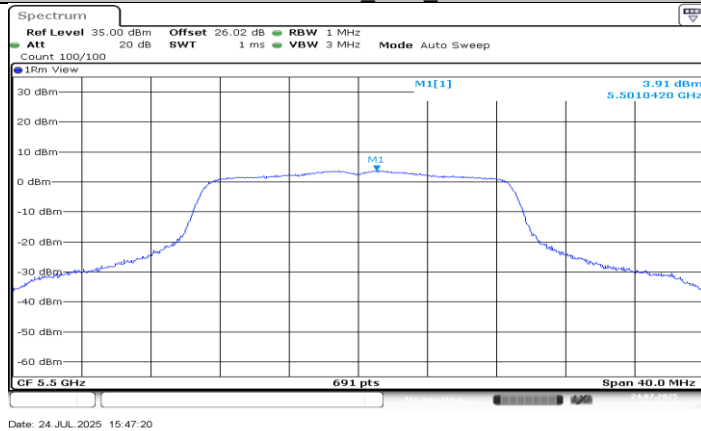
11N20MIMO_Ant1_5320



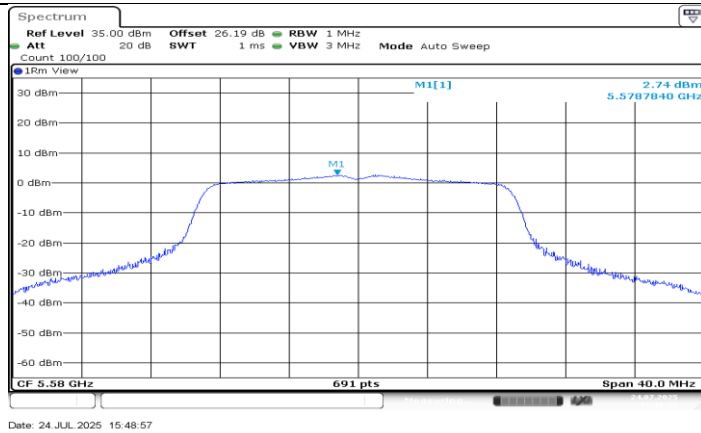
11N20MIMO_Ant2_5320



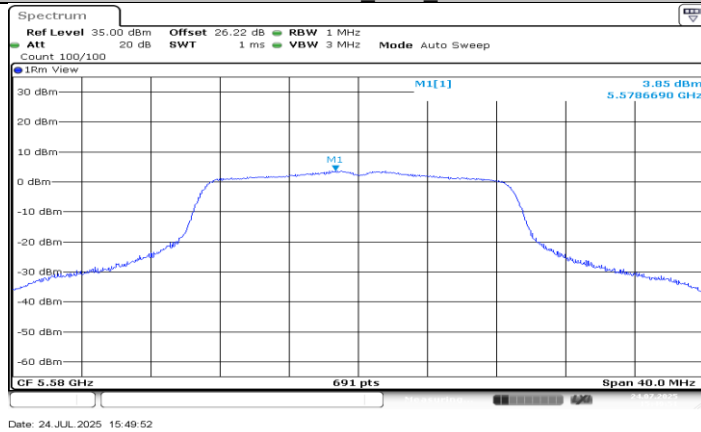
11N20MIMO_Ant1_5500



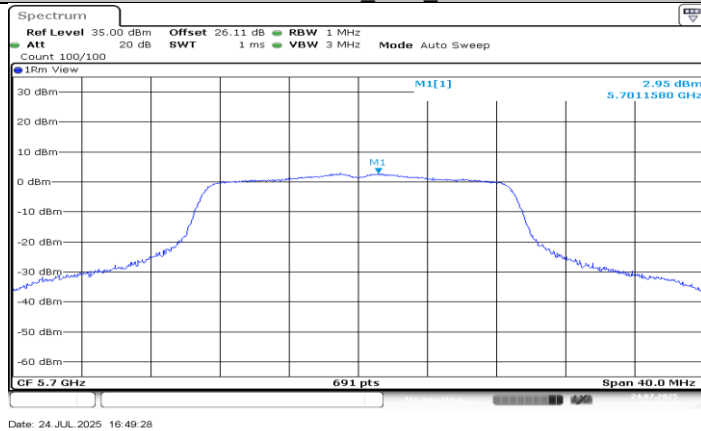
11N20MIMO_Ant2_5500



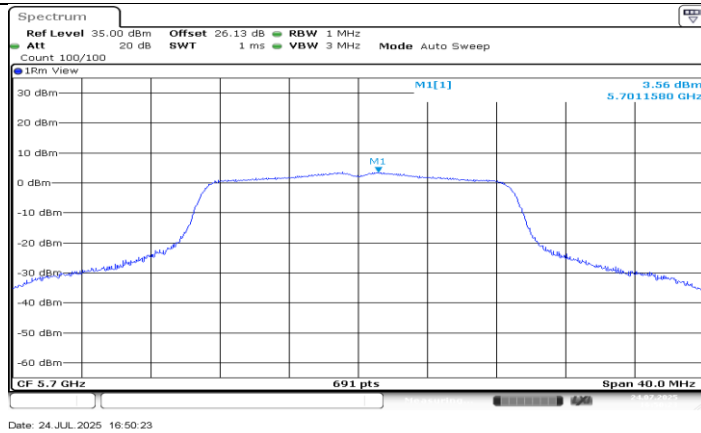
11N20MIMO_Ant1_5580



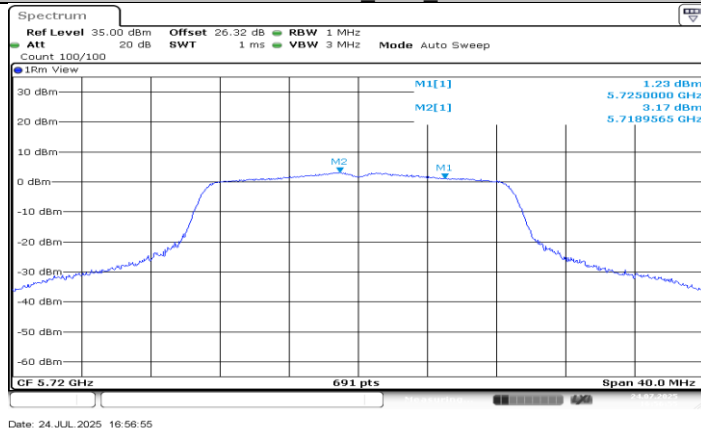
11N20MIMO_Ant2_5580



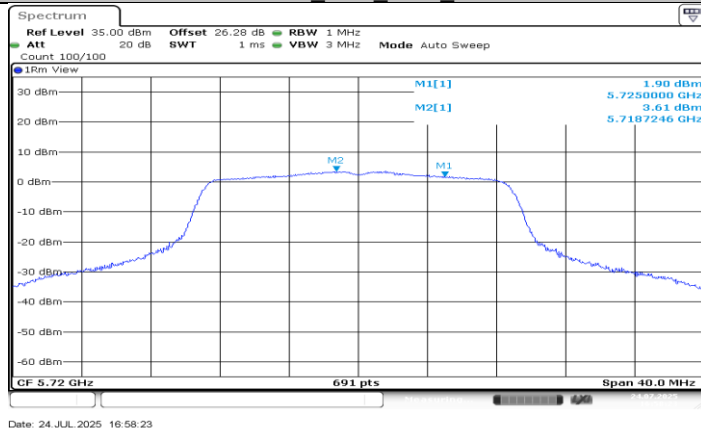
11N20MIMO_Ant1_5700



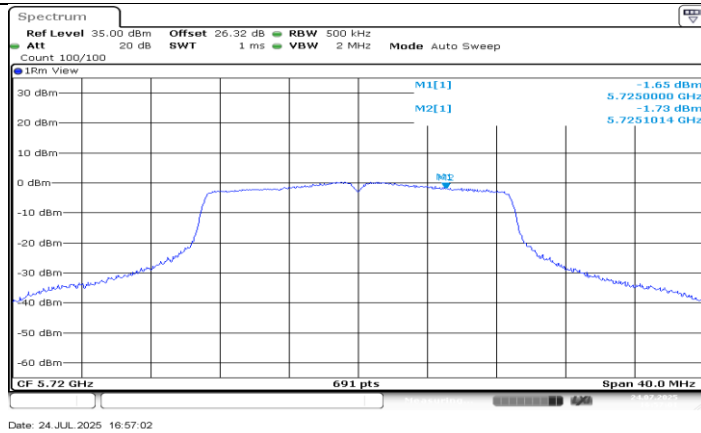
11N20MIMO_Ant2_5700



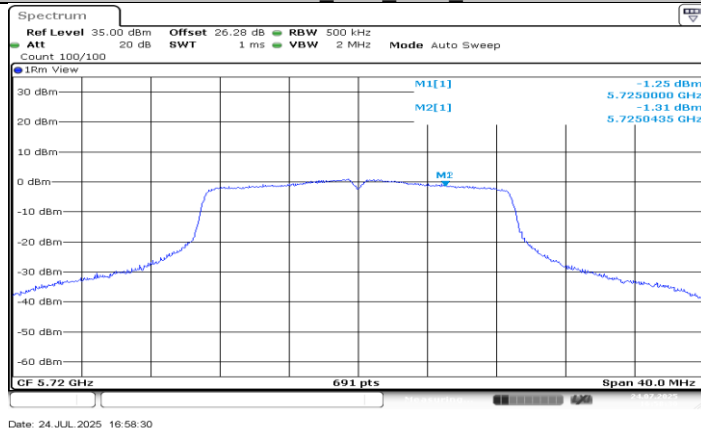
11N20MIMO_Ant1_5720_UNII-2C



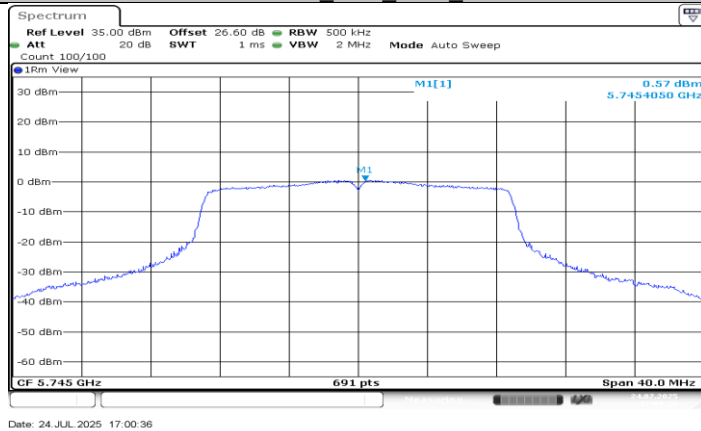
11N20MIMO_Ant2_5720_UNII-2C



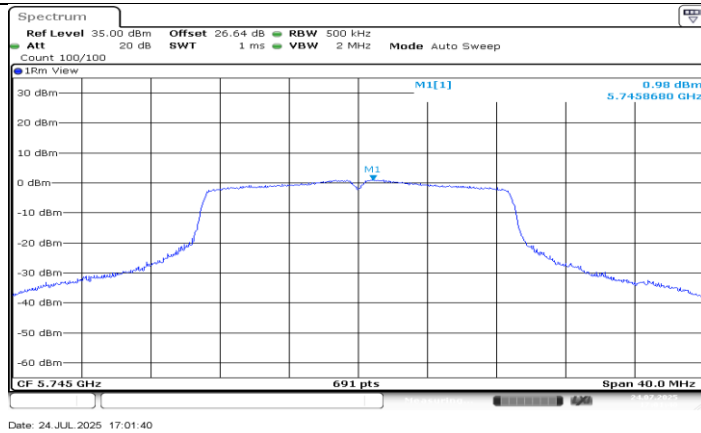
11N20MIMO_Ant1_5720_UNII-3



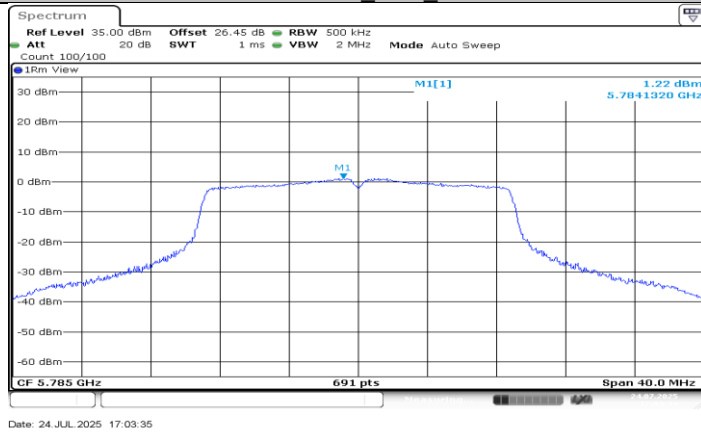
11N20MIMO_Ant2_5720_UNII-3



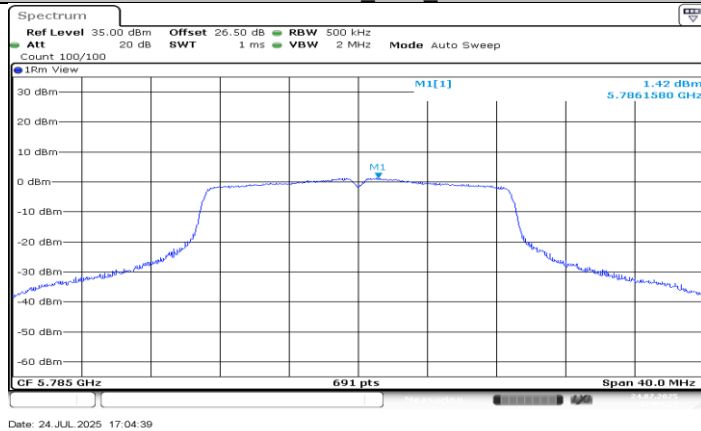
11N20MIMO_Ant1_5745



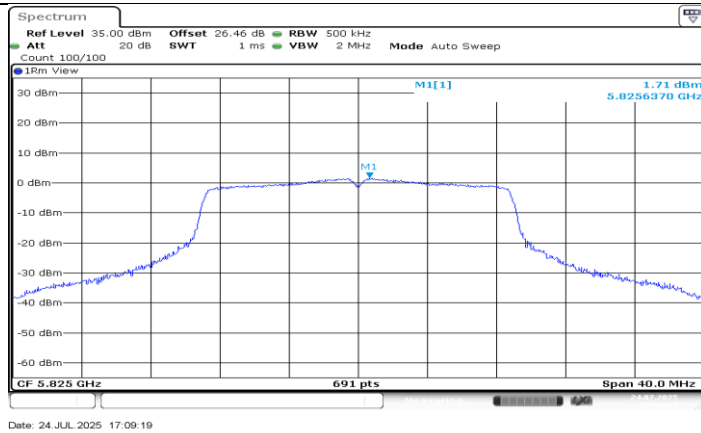
11N20MIMO_Ant2_5745



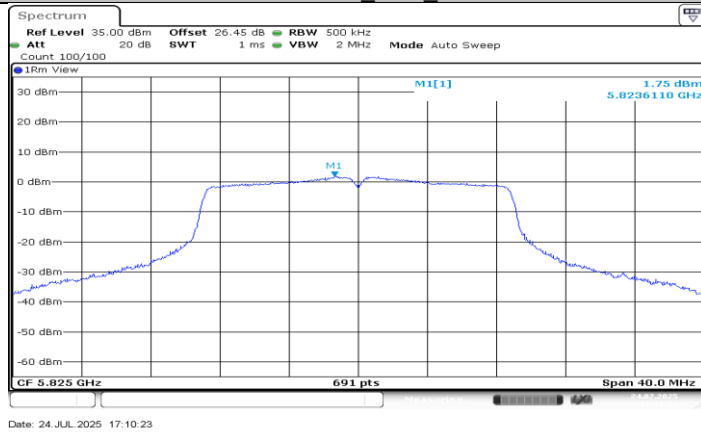
11N20MIMO_Ant1_5785



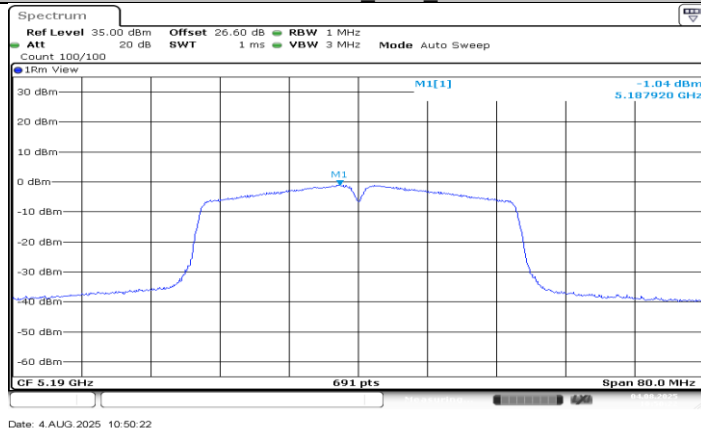
11N20MIMO_Ant2_5785



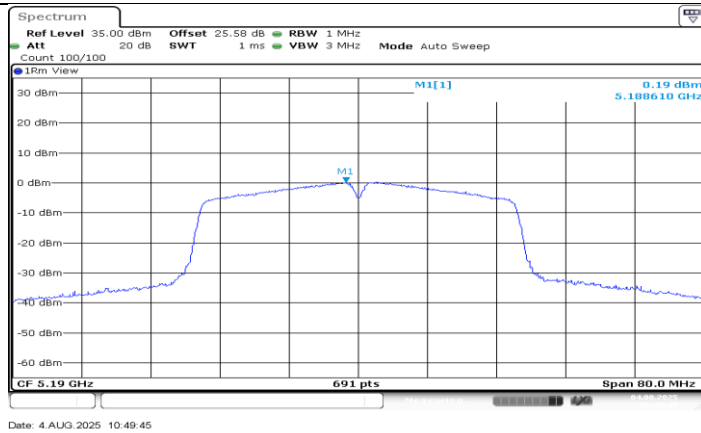
11N20MIMO_Ant1_5825



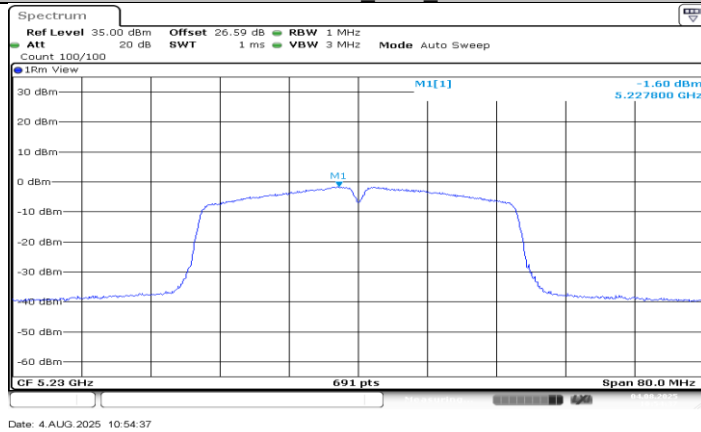
11N20MIMO_Ant2_5825



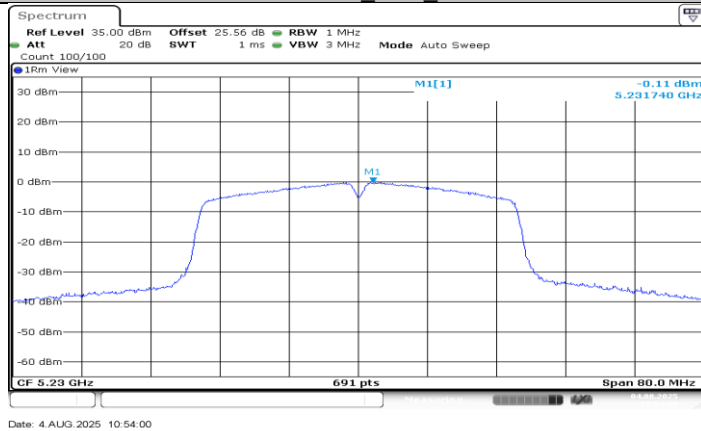
11N40MIMO_Ant1_5190



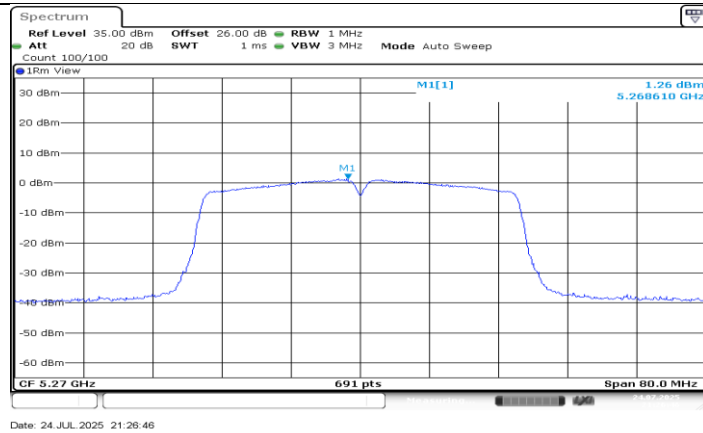
11N40MIMO_Ant2_5190



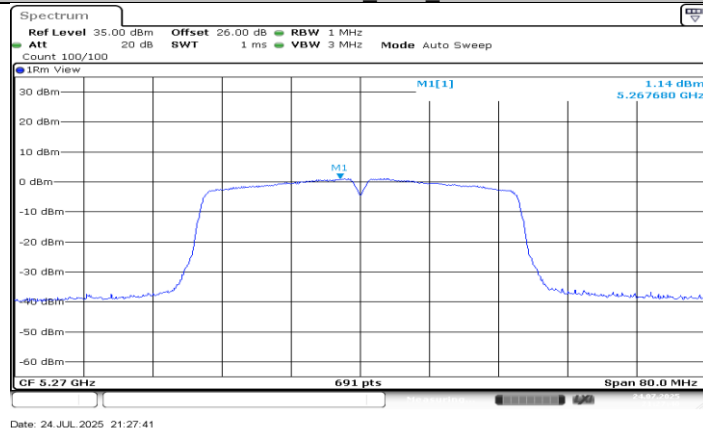
11N40MIMO_Ant1_5230



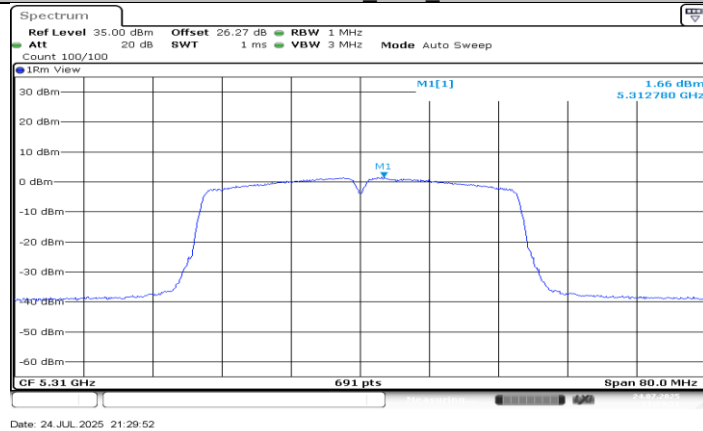
11N40MIMO_Ant2_5230



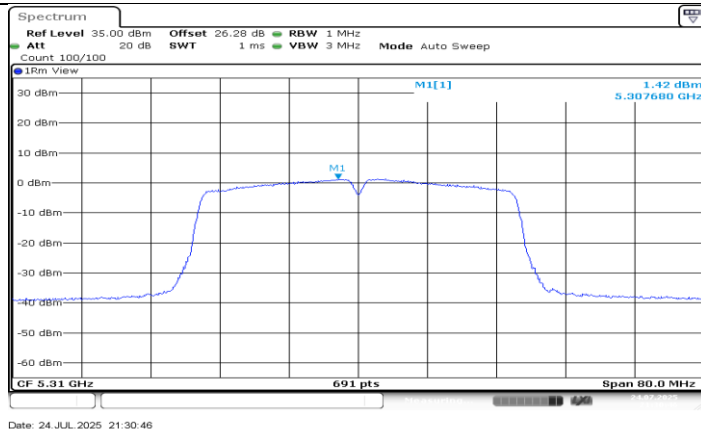
11N40MIMO_Ant1_5270



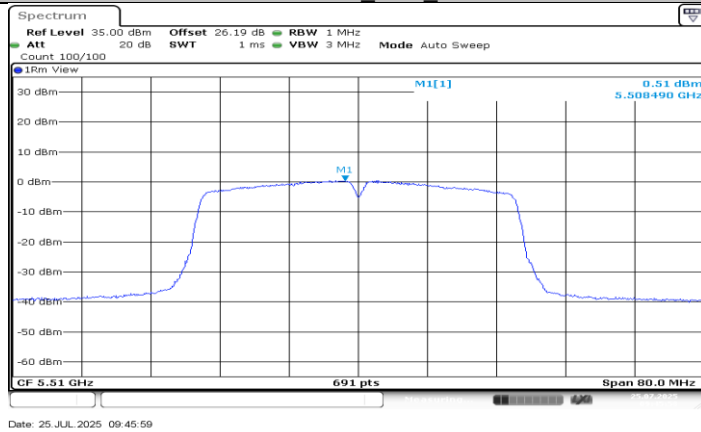
11N40MIMO_Ant2_5270



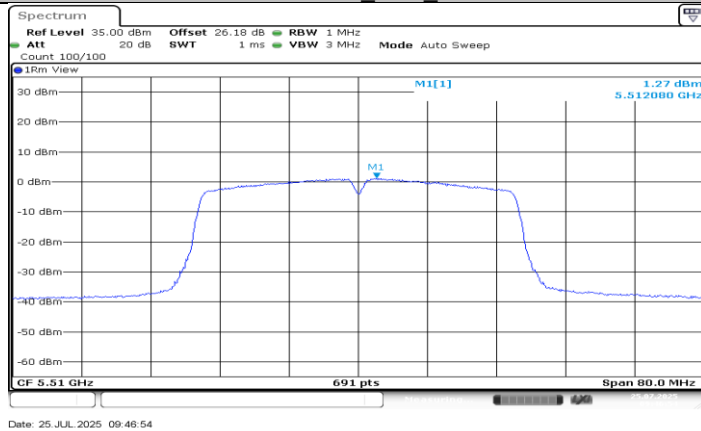
11N40MIMO_Ant1_5310



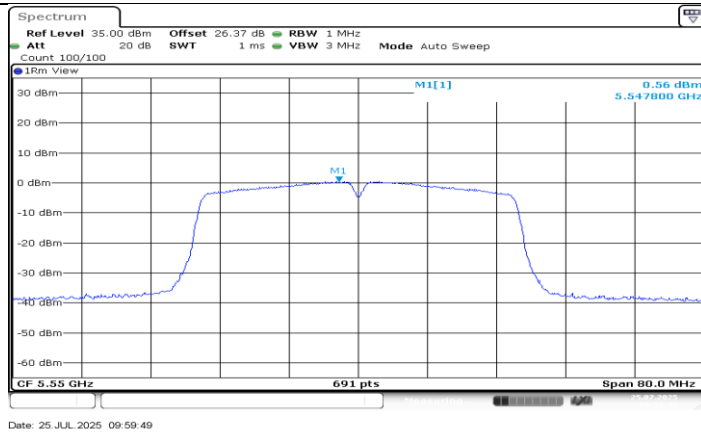
11N40MIMO_Ant2_5310



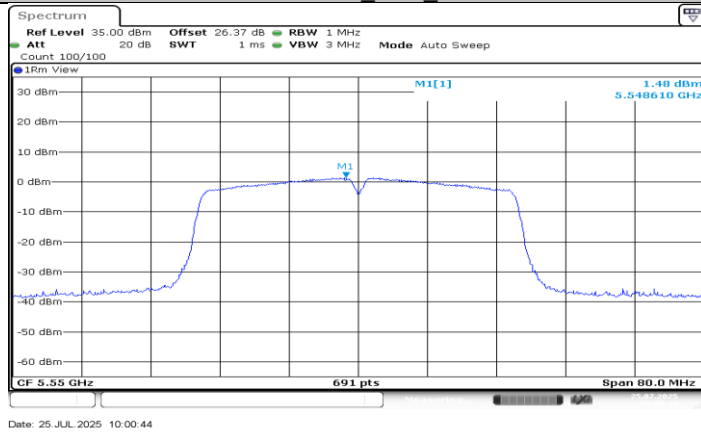
11N40MIMO_Ant1_5510



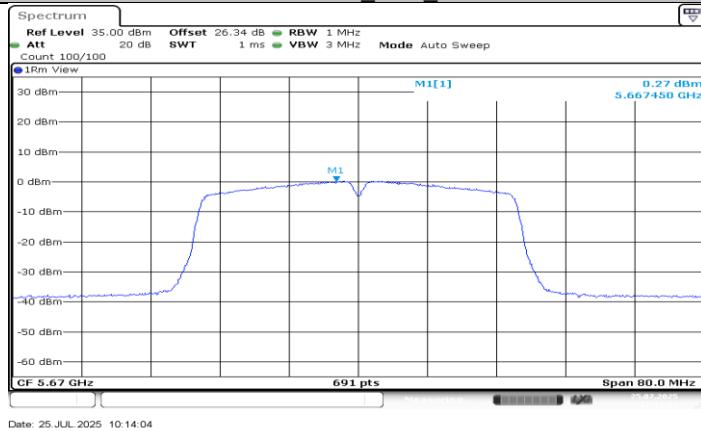
11N40MIMO_Ant2_5510



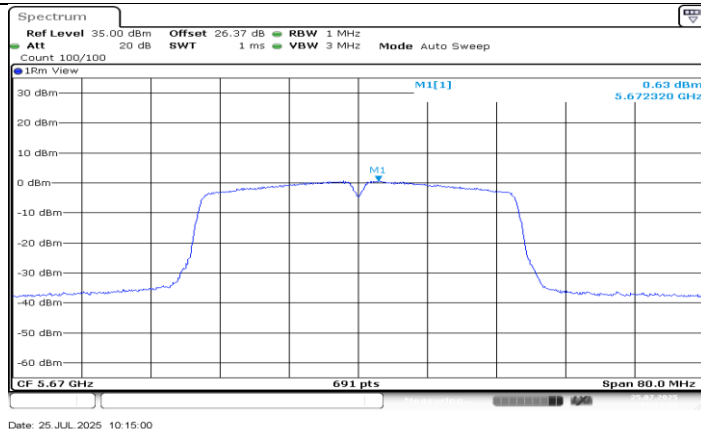
11N40MIMO_Ant1_5550



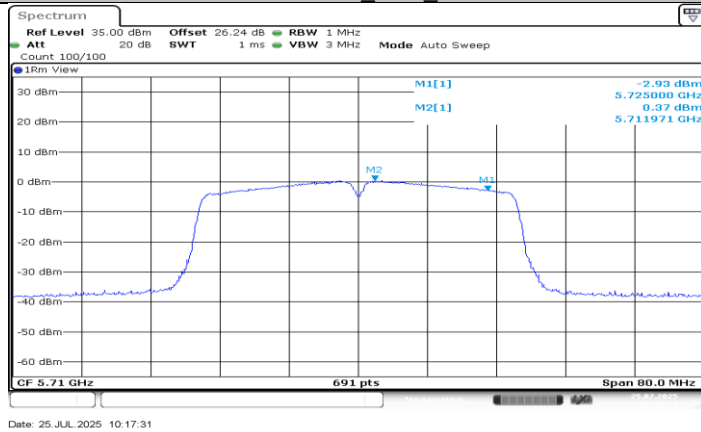
11N40MIMO_Ant2_5550



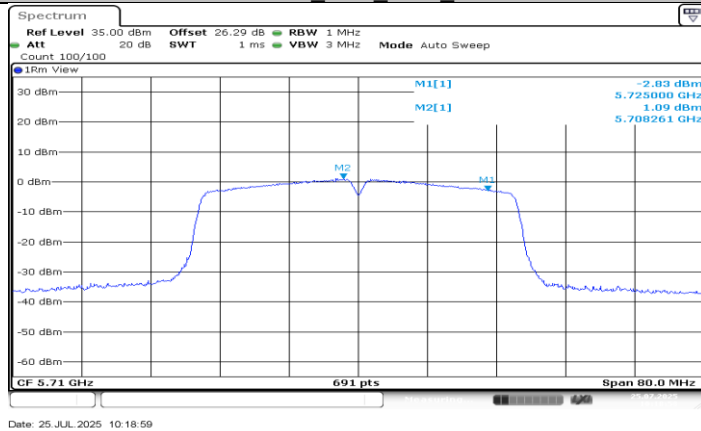
11N40MIMO_Ant1_5670



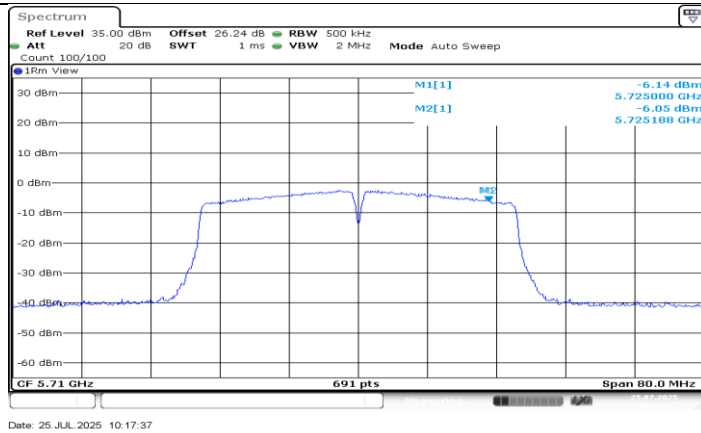
11N40MIMO_Ant2_5670



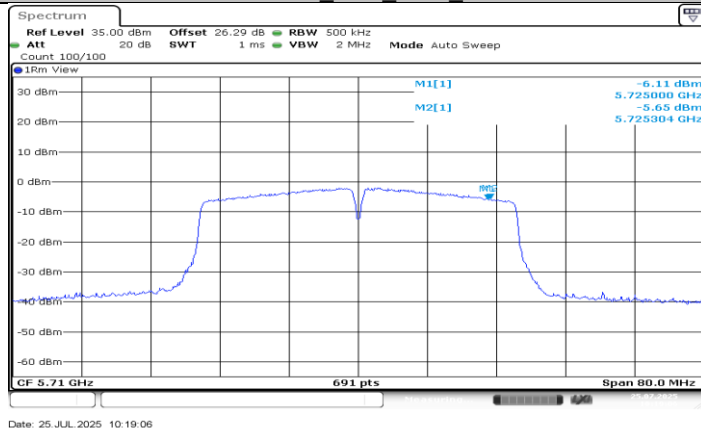
11N40MIMO_Ant1_5710_UNII-2C



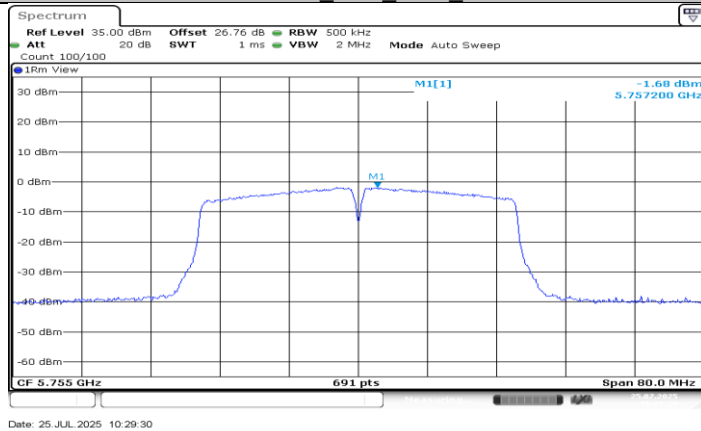
11N40MIMO_Ant2_5710_UNII-2C



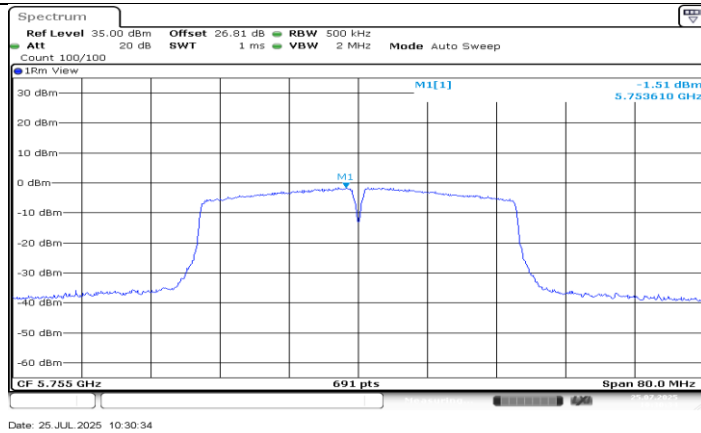
11N40MIMO_Ant1_5710_UNII-3



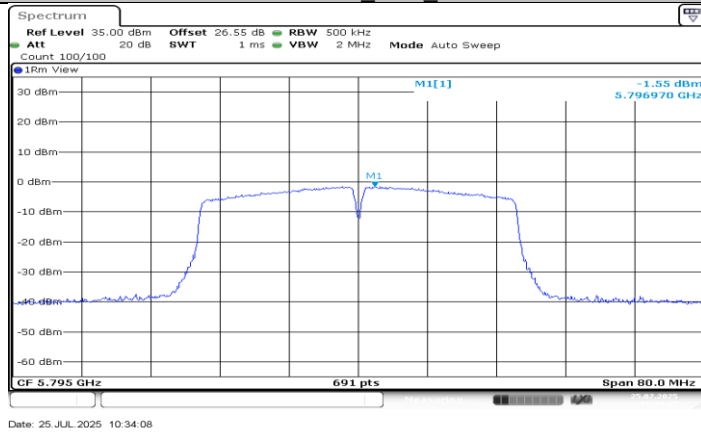
11N40MIMO_Ant2_5710_UNII-3



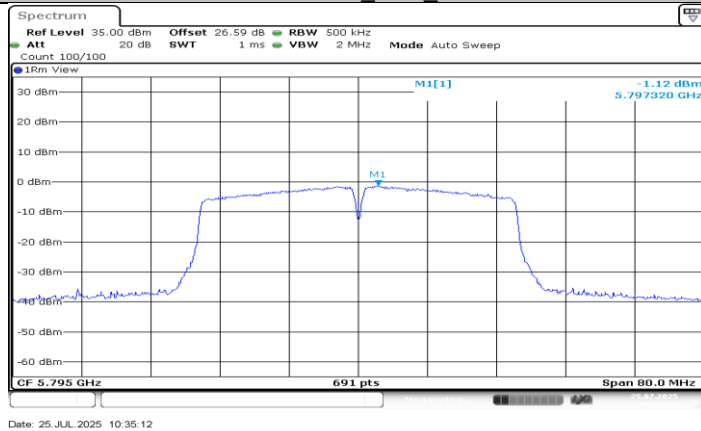
11N40MIMO_Ant1_5755



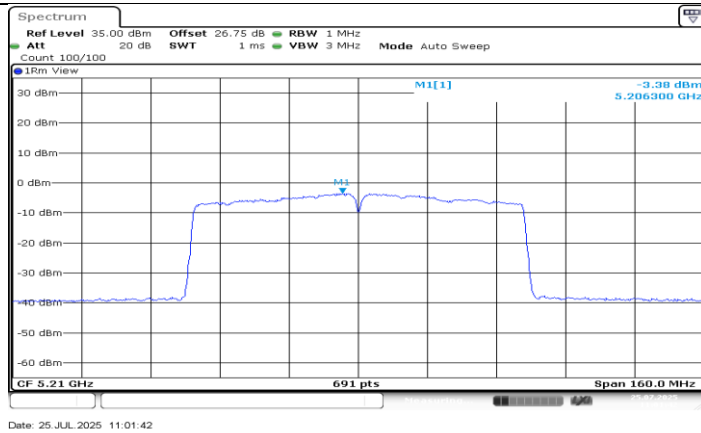
11N40MIMO_Ant2_5755



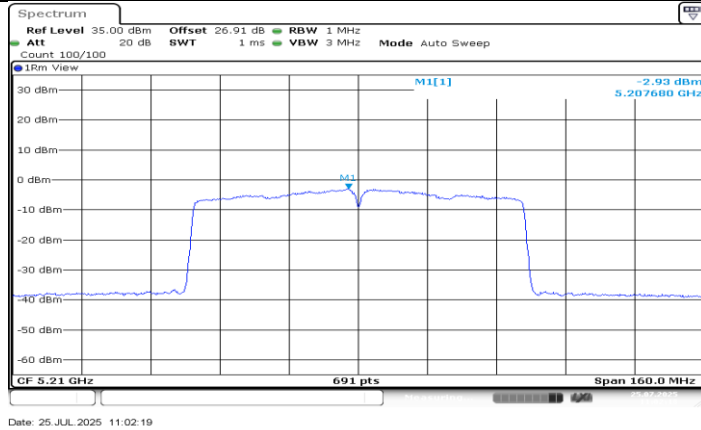
11N40MIMO_Ant1_5795



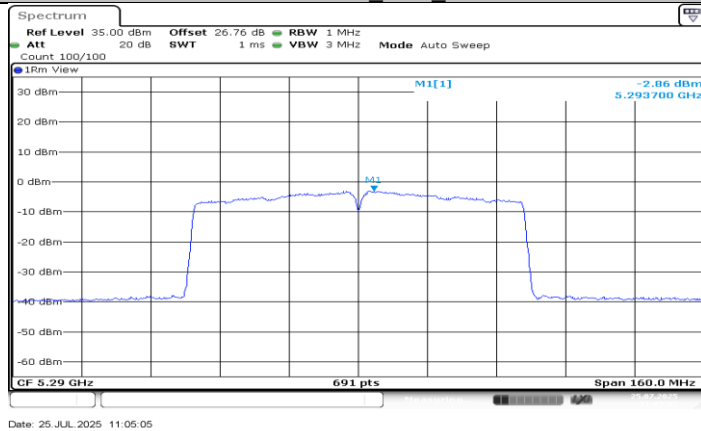
11N40MIMO_Ant2_5795



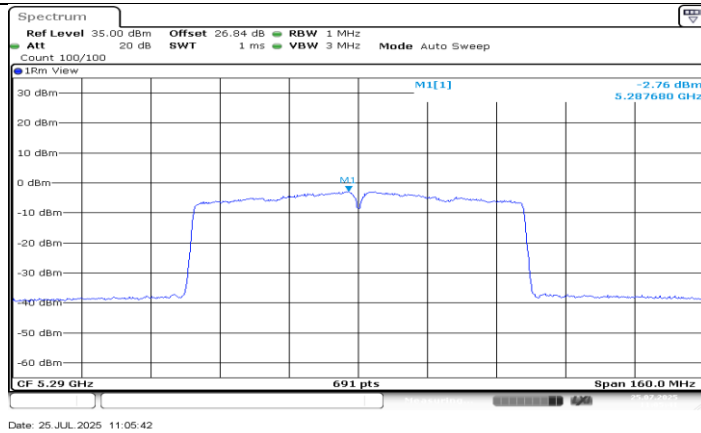
11AC80MIMO_Ant1_5210



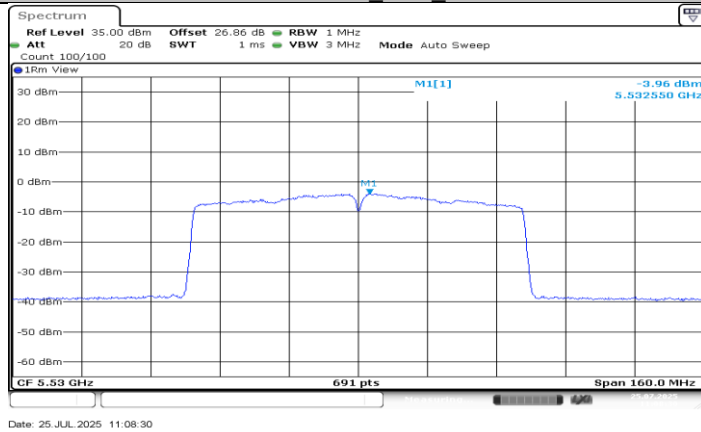
11AC80MIMO_Ant2_5210



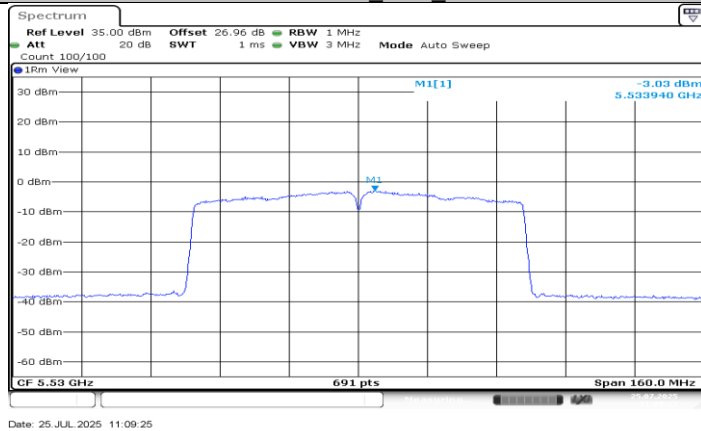
11AC80MIMO_Ant1_5290



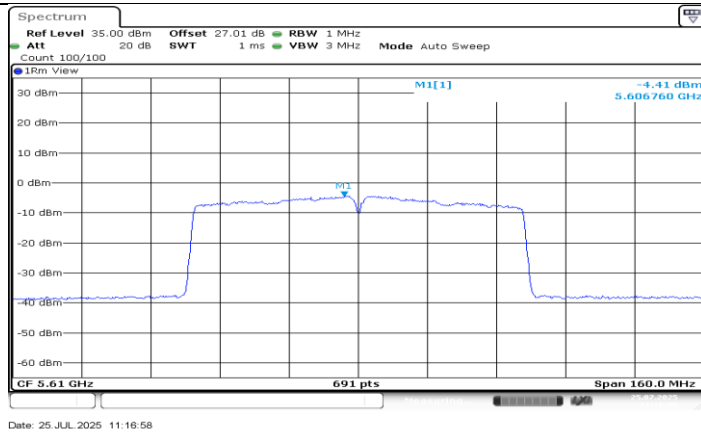
11AC80MIMO_Ant2_5290



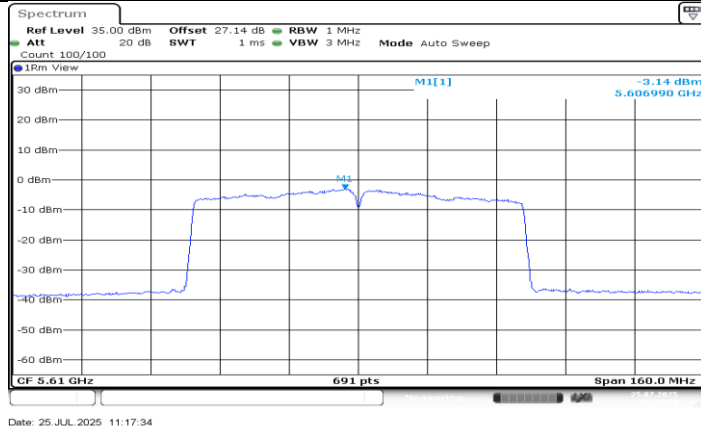
11AC80MIMO_Ant1_5530



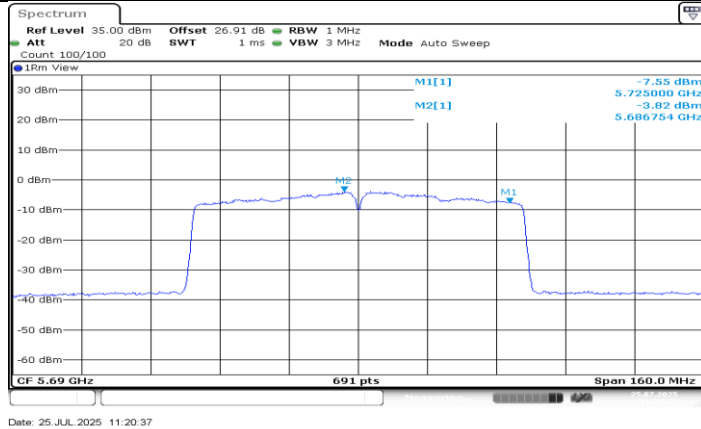
11AC80MIMO_Ant2_5530



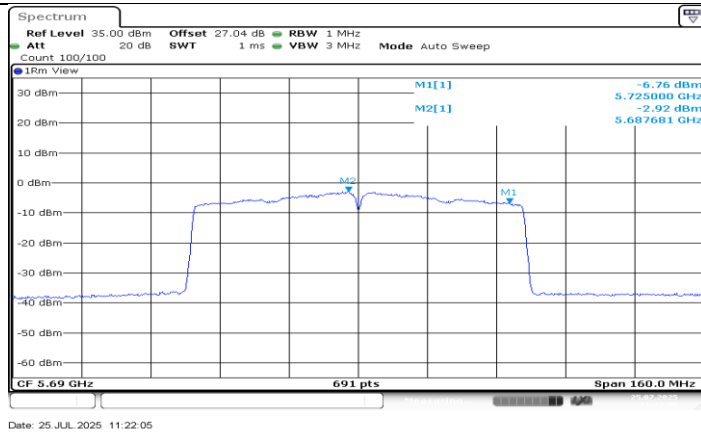
11AC80MIMO_Ant1_5610



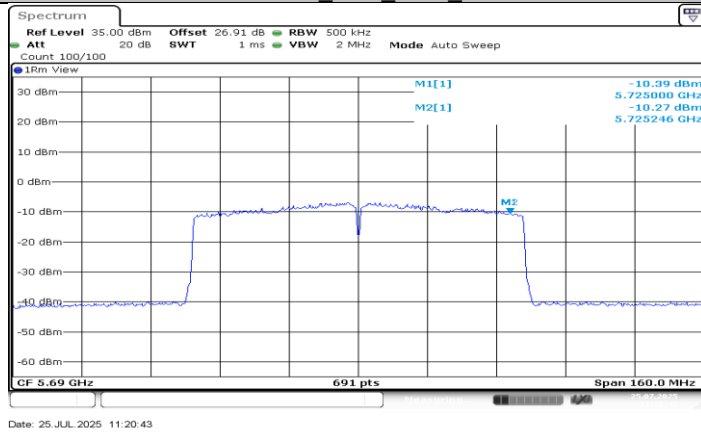
11AC80MIMO_Ant2_5610



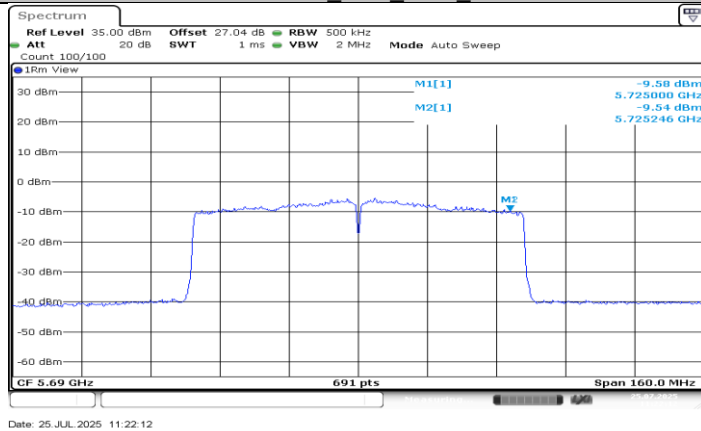
11AC80MIMO_Ant1_5690_UNII-2C



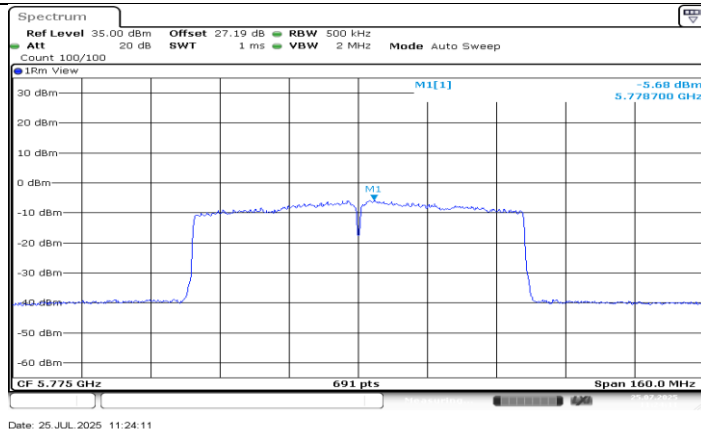
11AC80MIMO_Ant2_5690_UNII-2C



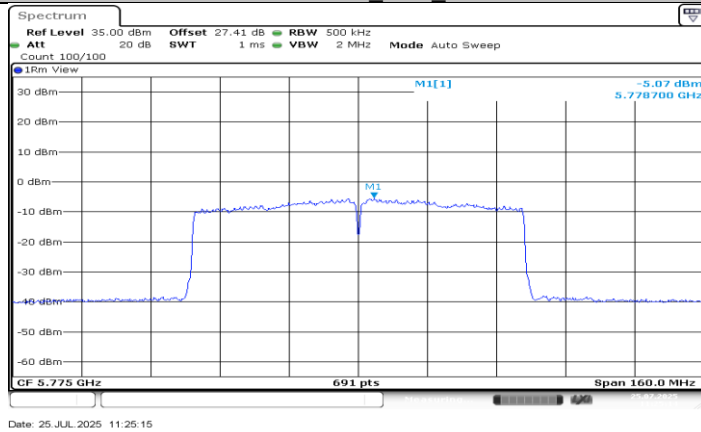
11AC80MIMO_Ant1_5690_UNII-3



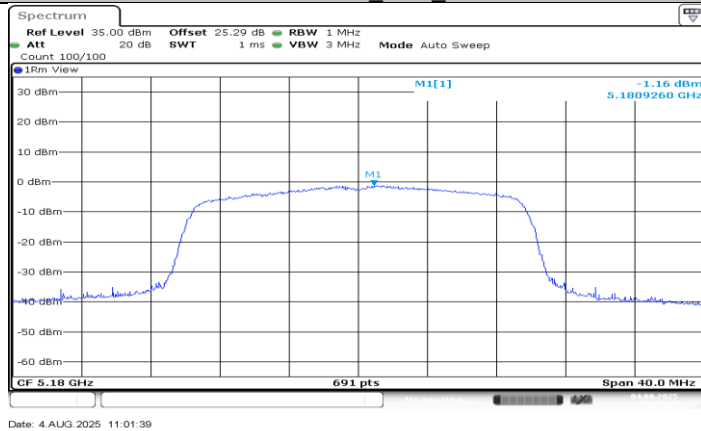
11AC80MIMO_Ant2_5690_UNII-3



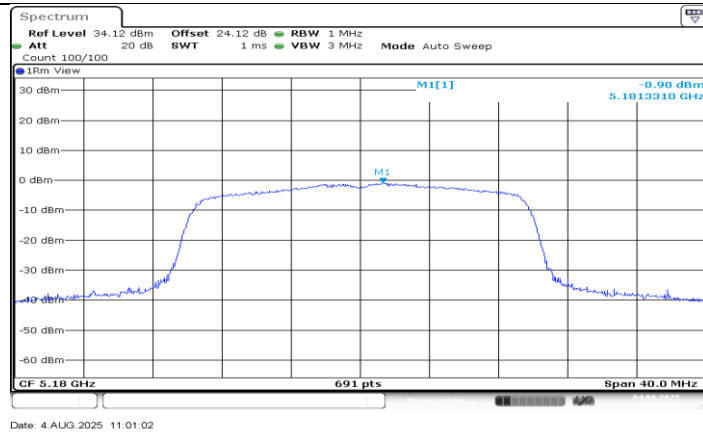
11AC80MIMO_Ant1_5775



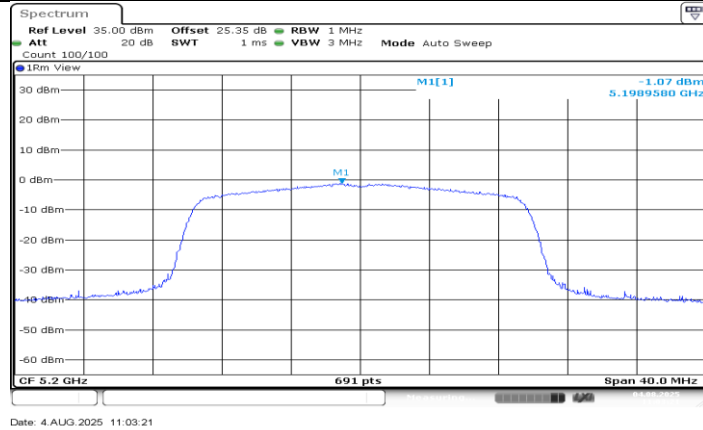
11AC80MIMO_Ant2_5775



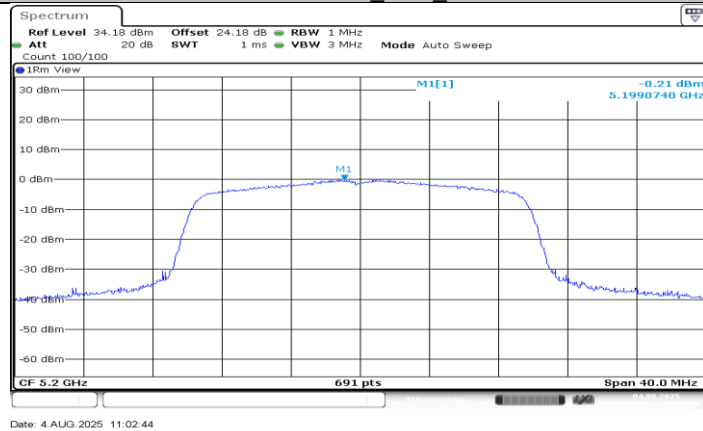
11AX20MIMO_Ant1_5180



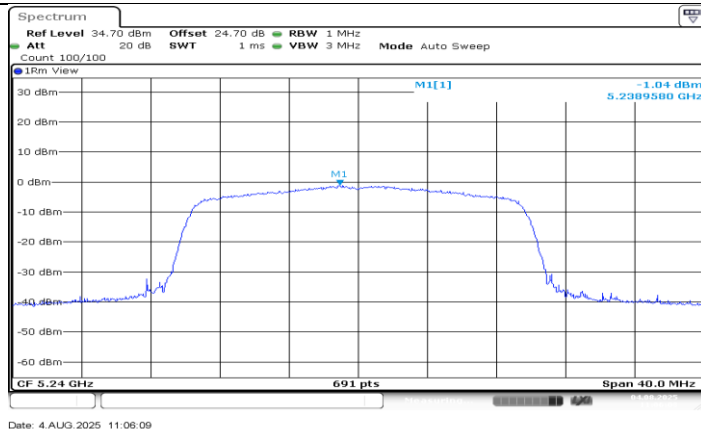
11AX20MIMO_Ant2_5180



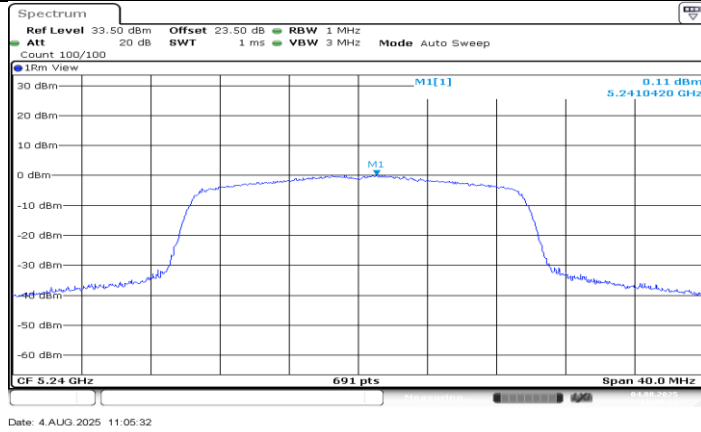
11AX20MIMO_Ant1_5200



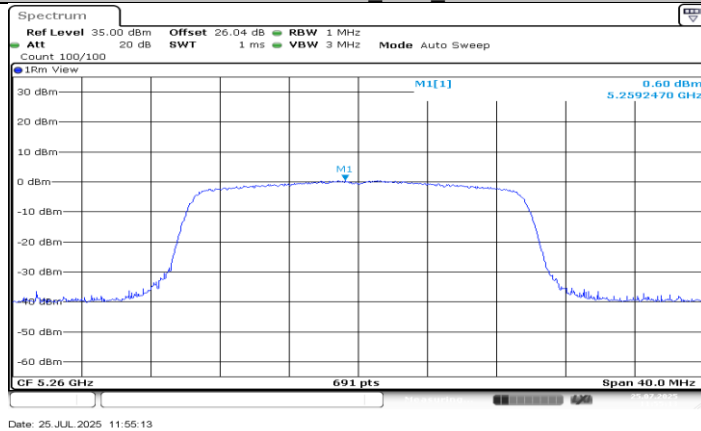
11AX20MIMO_Ant2_5200



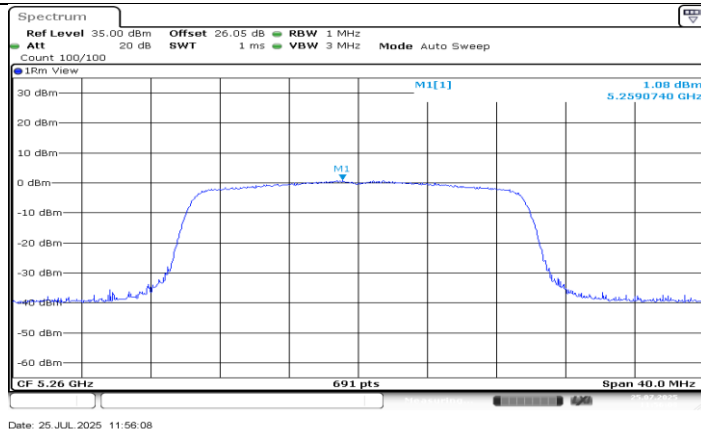
11AX20MIMO_Ant1_5240



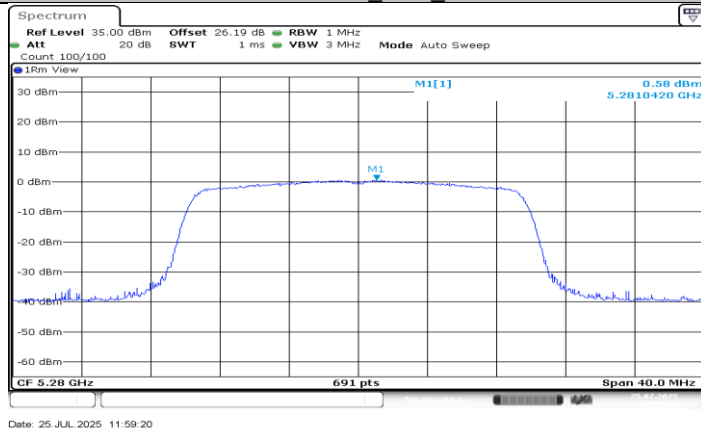
11AX20MIMO_Ant2_5240



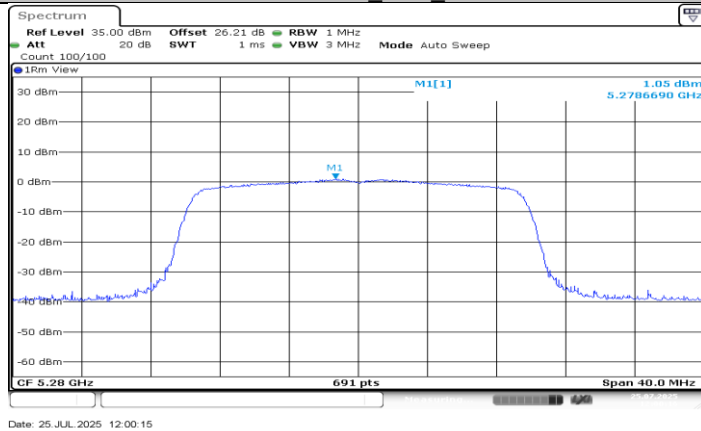
11AX20MIMO_Ant1_5260



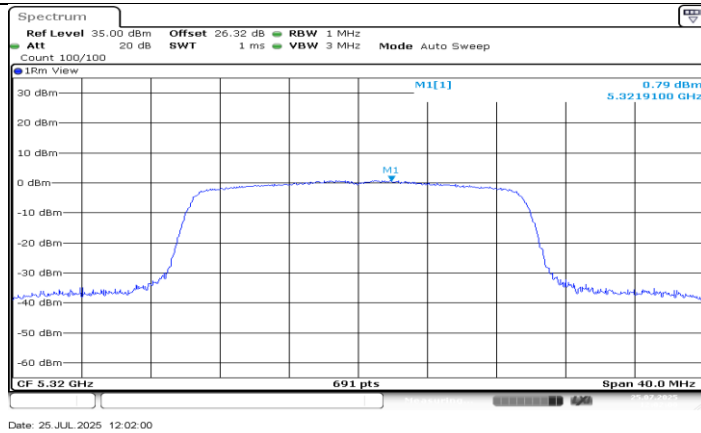
11AX20MIMO_Ant2_5260



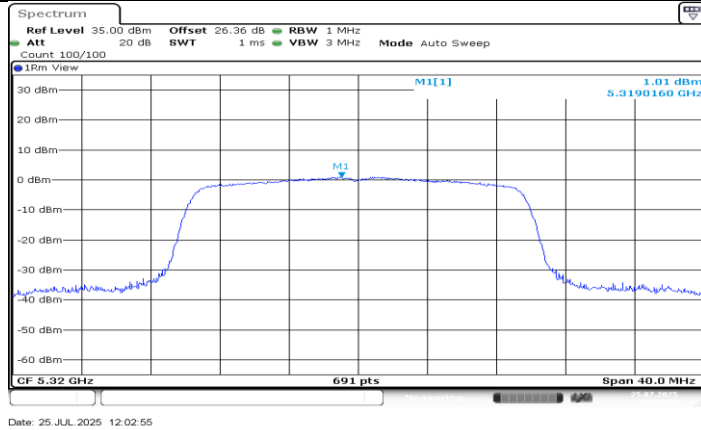
11AX20MIMO_Ant1_5280



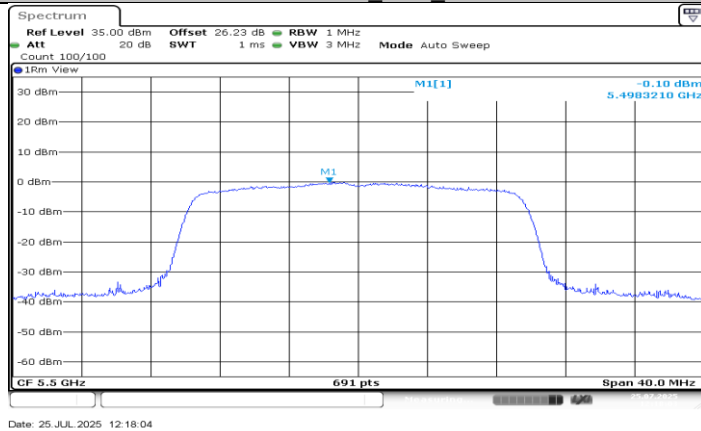
11AX20MIMO_Ant2_5280



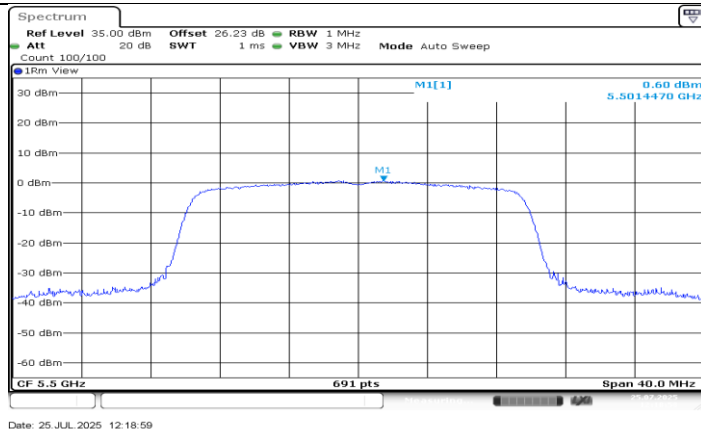
11AX20MIMO_Ant1_5320



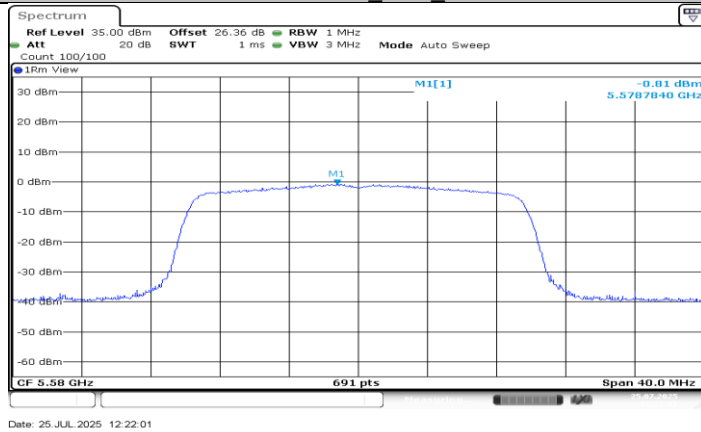
11AX20MIMO_Ant2_5320



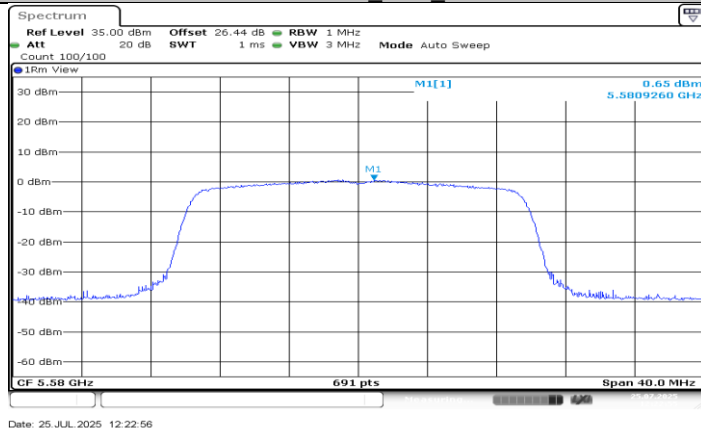
11AX20MIMO_Ant1_5500



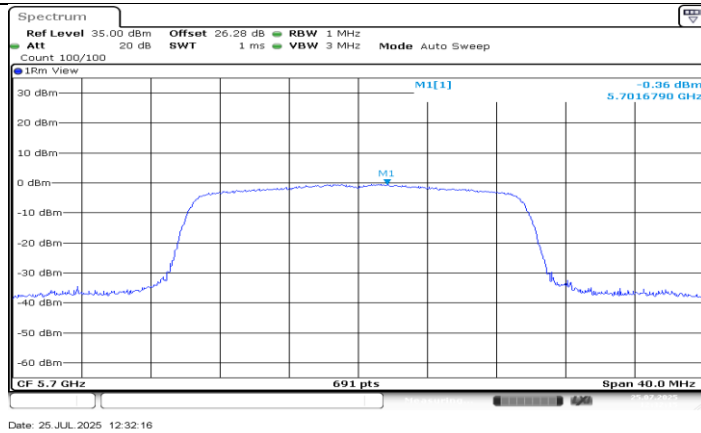
11AX20MIMO_Ant2_5500



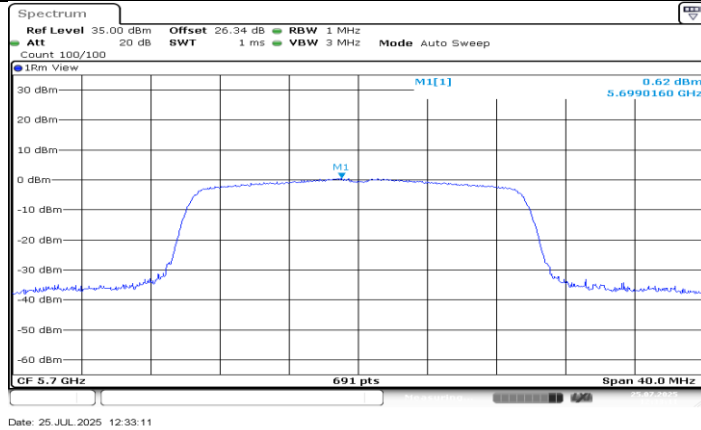
11AX20MIMO_Ant1_5580



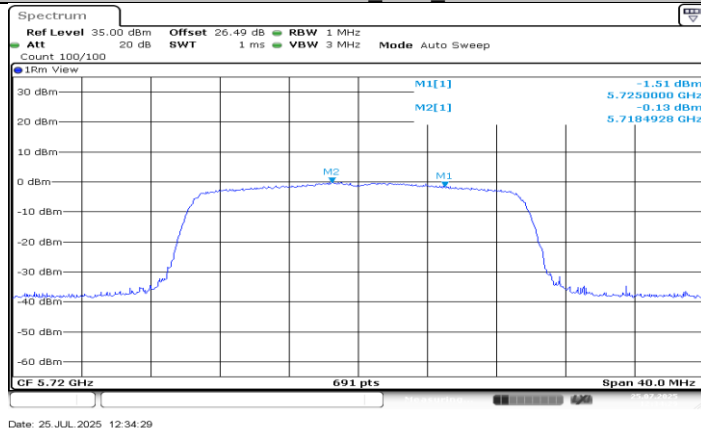
11AX20MIMO_Ant2_5580



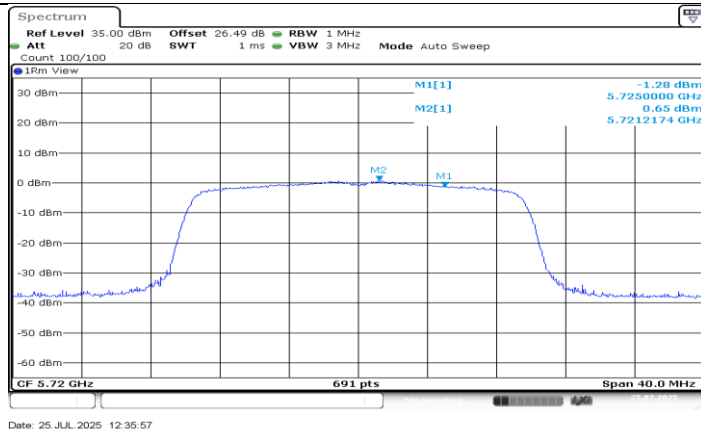
11AX20MIMO_Ant1_5700



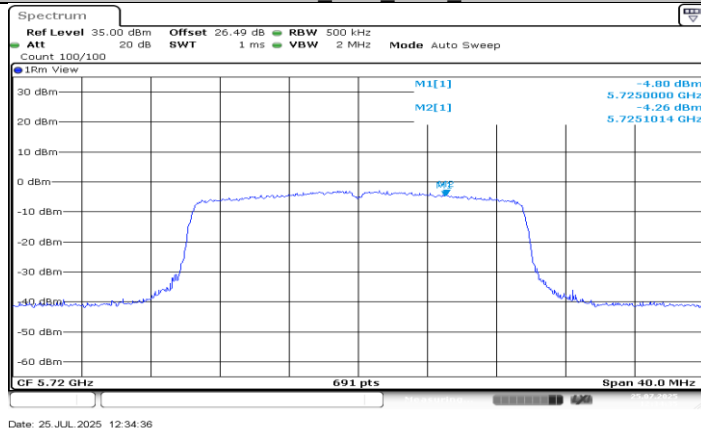
11AX20MIMO_Ant2_5700



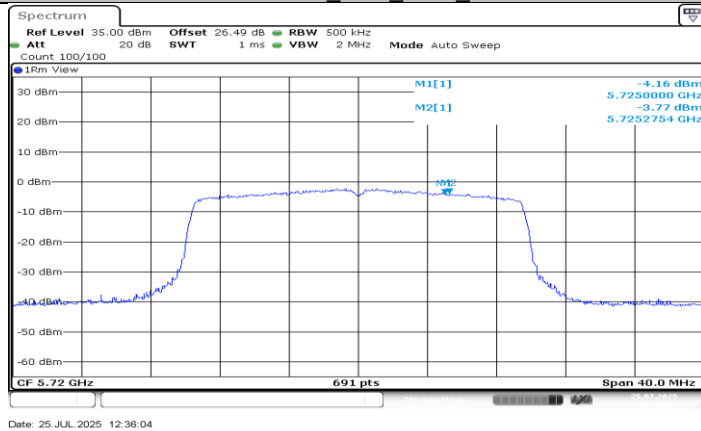
11AX20MIMO_Ant1_5720_UNII-2C



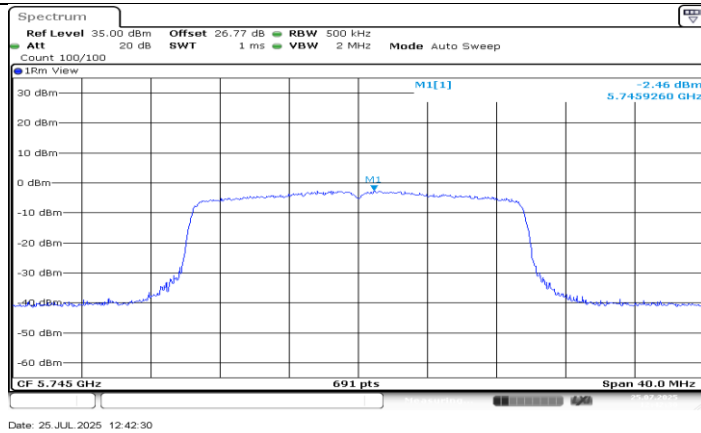
11AX20MIMO_Ant2_5720_UNII-2C



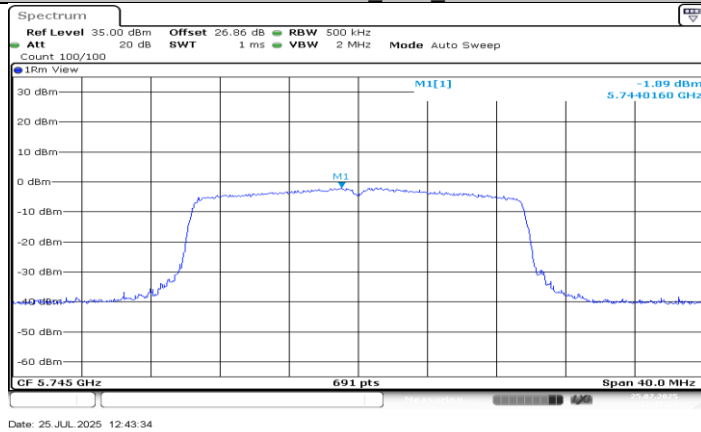
11AX20MIMO_Ant1_5720_UNII-3



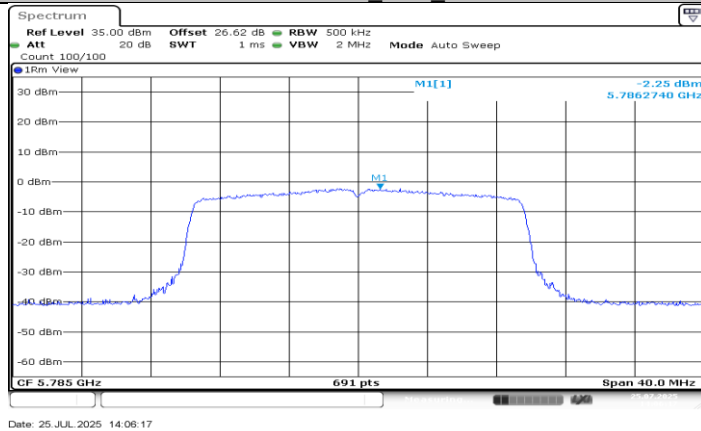
11AX20MIMO_Ant2_5720_UNII-3



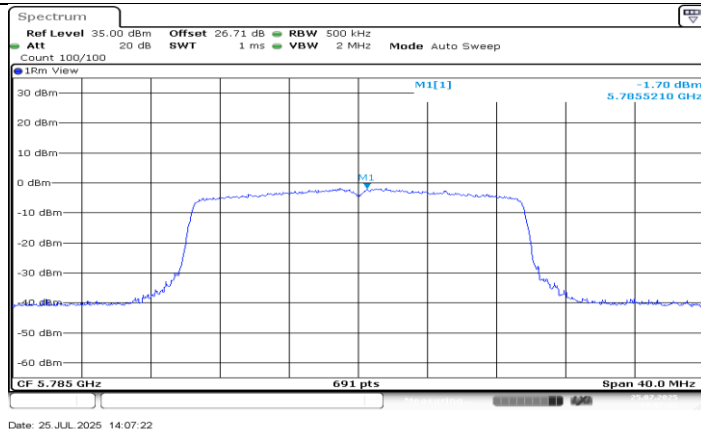
11AX20MIMO_Ant1_5745



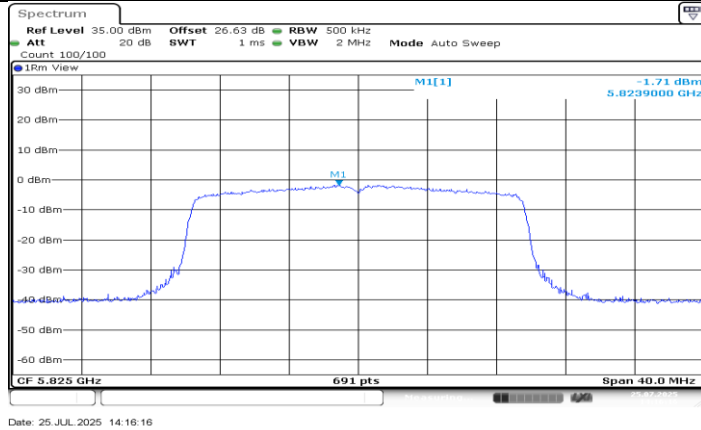
11AX20MIMO_Ant2_5745



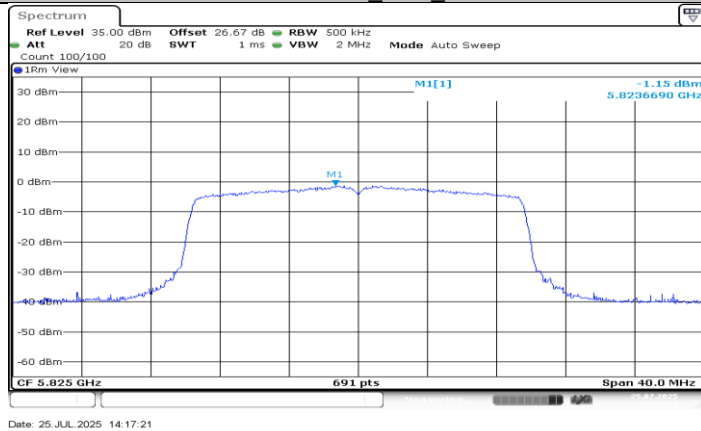
11AX20MIMO_Ant1_5785



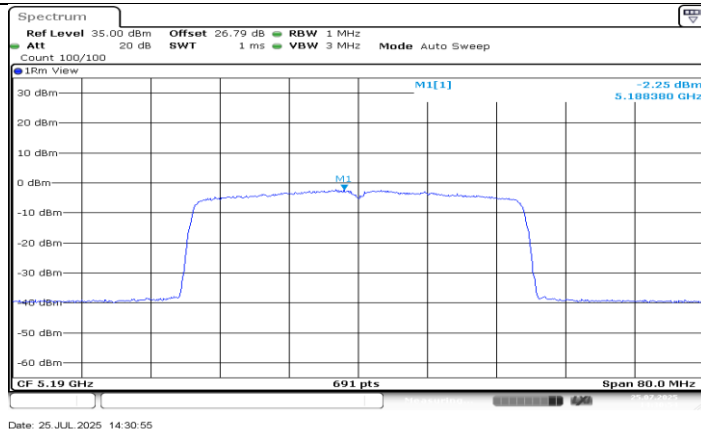
11AX20MIMO_Ant2_5785



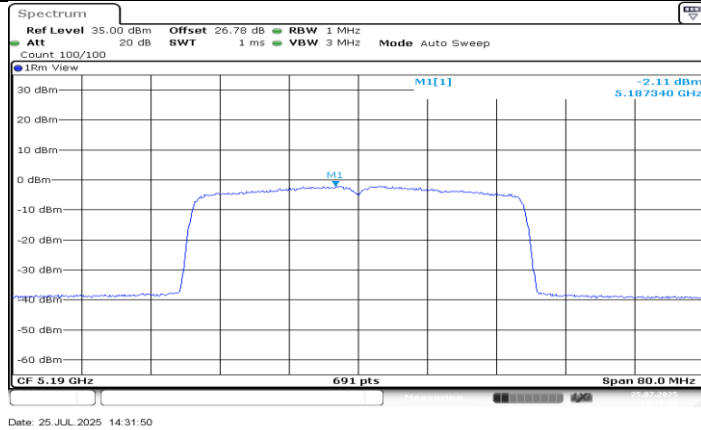
11AX20MIMO_Ant1_5825



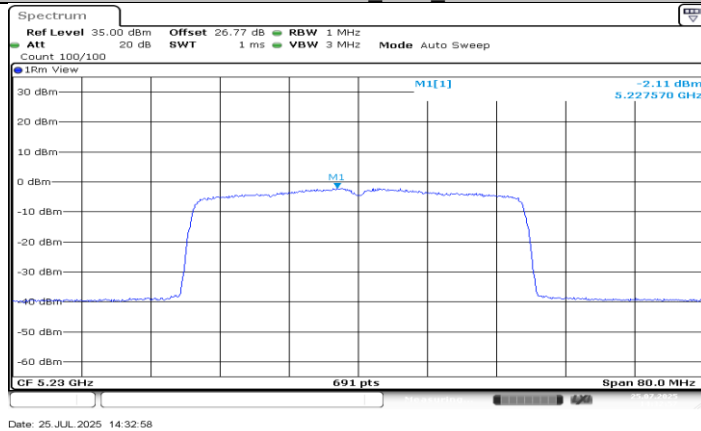
11AX20MIMO_Ant2_5825



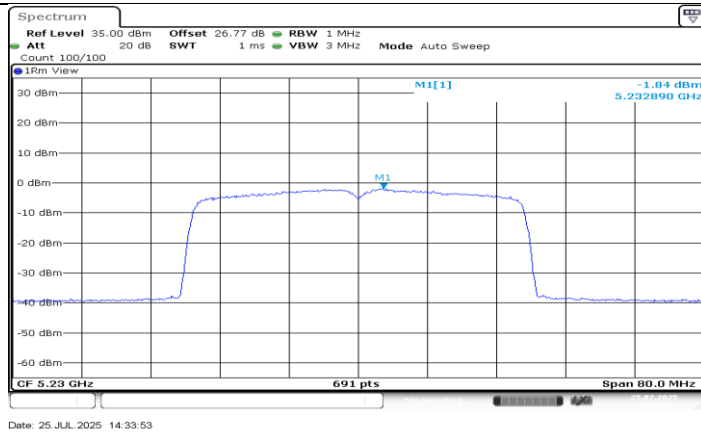
11AX40MIMO_Ant1_5190



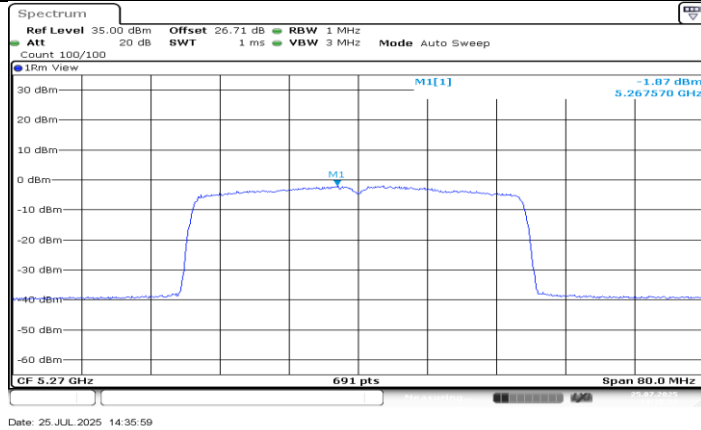
11AX40MIMO_Ant2_5190



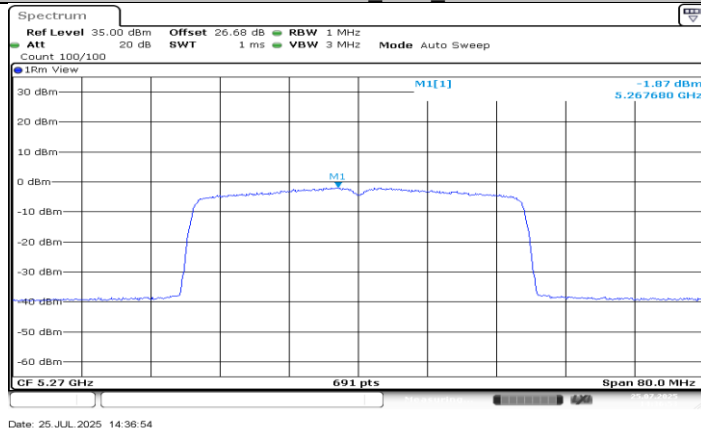
11AX40MIMO_Ant1_5230



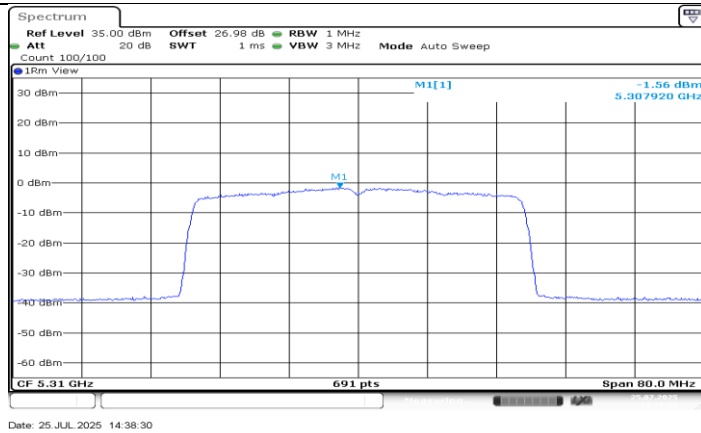
11AX40MIMO_Ant2_5230



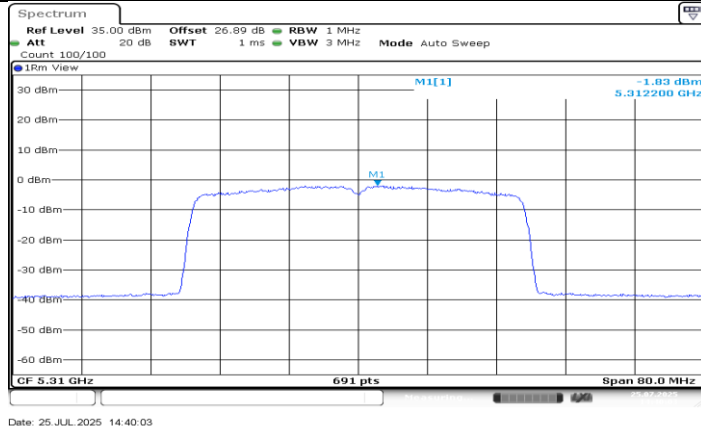
11AX40MIMO_Ant1_5270



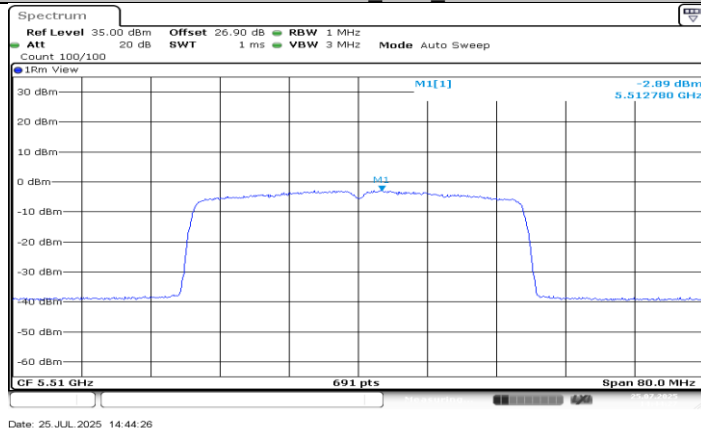
11AX40MIMO_Ant2_5270



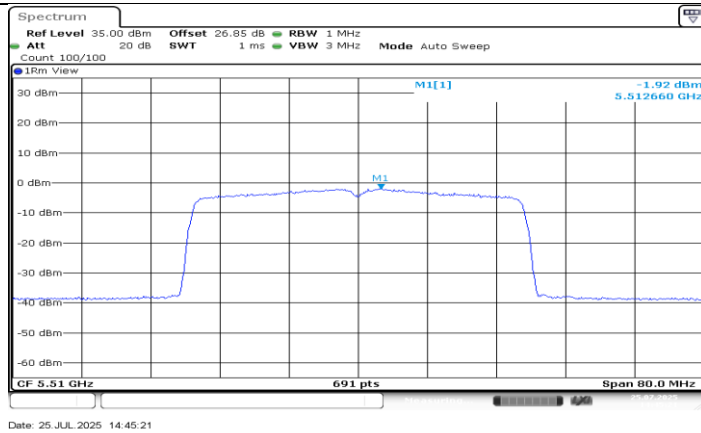
11AX40MIMO_Ant1_5310



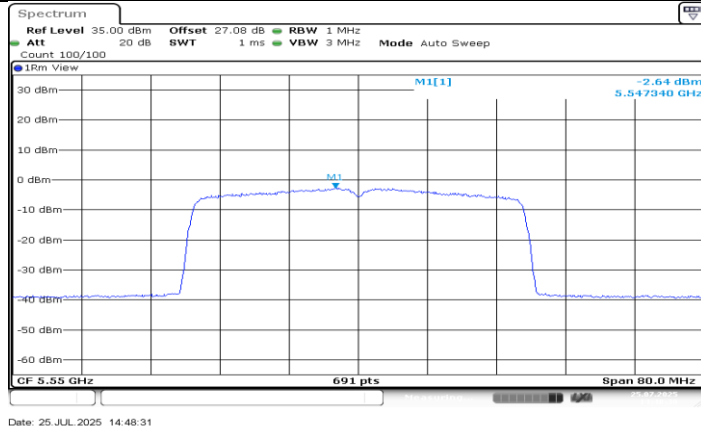
11AX40MIMO_Ant2_5310



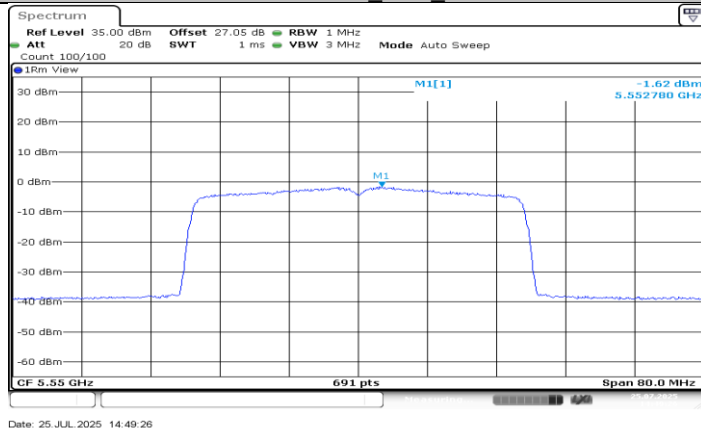
11AX40MIMO_Ant1_5510



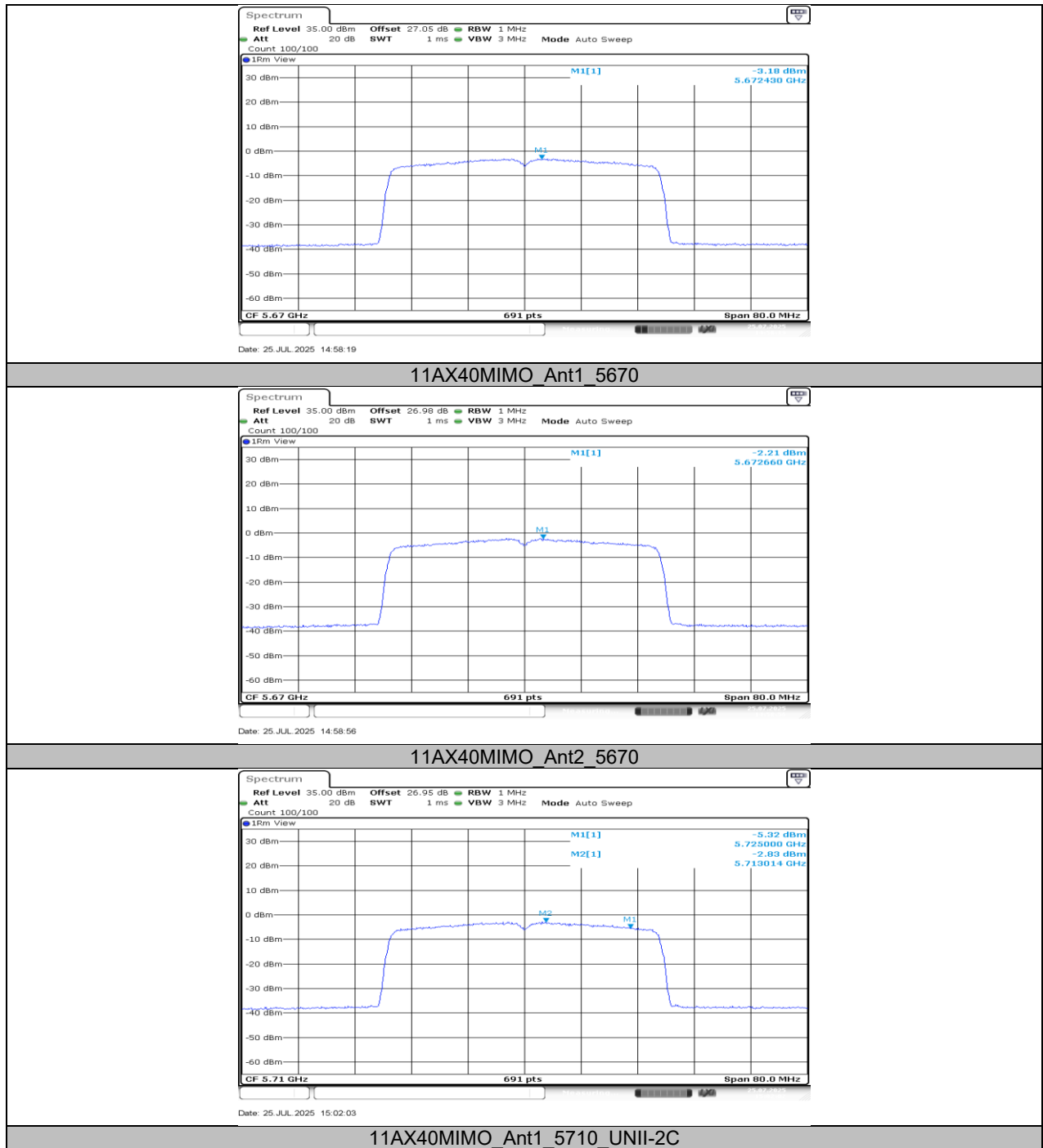
11AX40MIMO_Ant2_5510

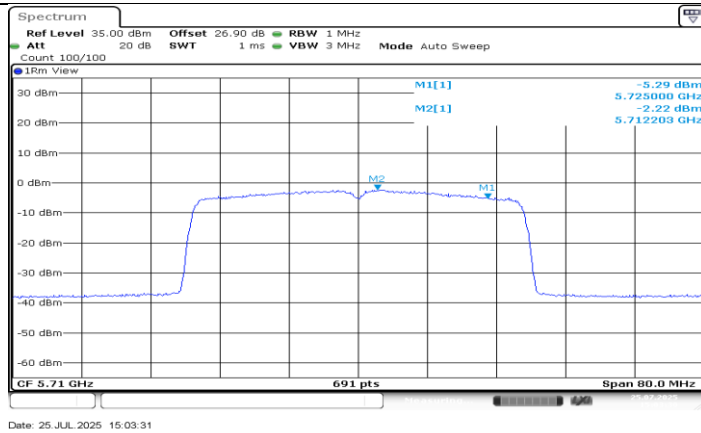


11AX40MIMO_Ant1_5550

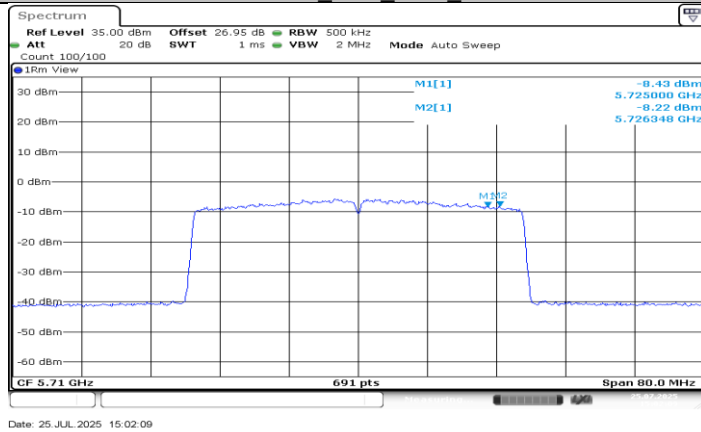


11AX40MIMO_Ant2_5550

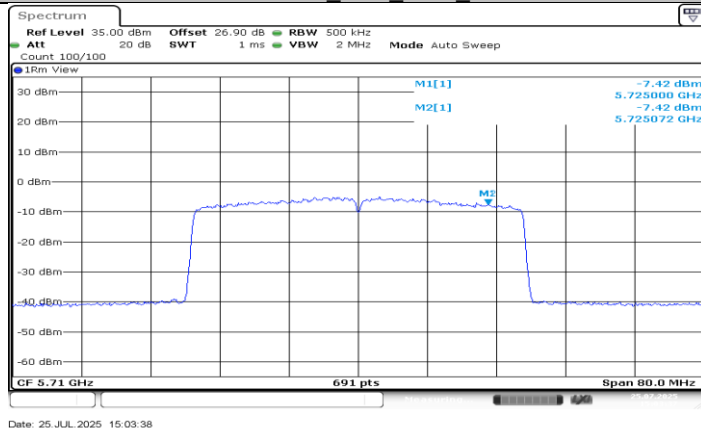




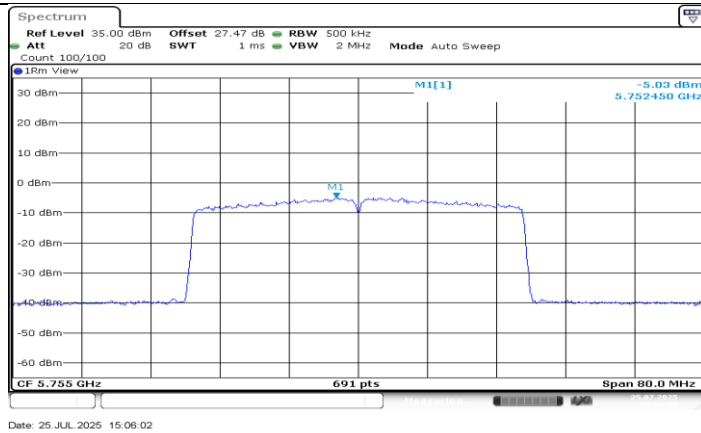
11AX40MIMO_Ant2_5710_UNII-2C



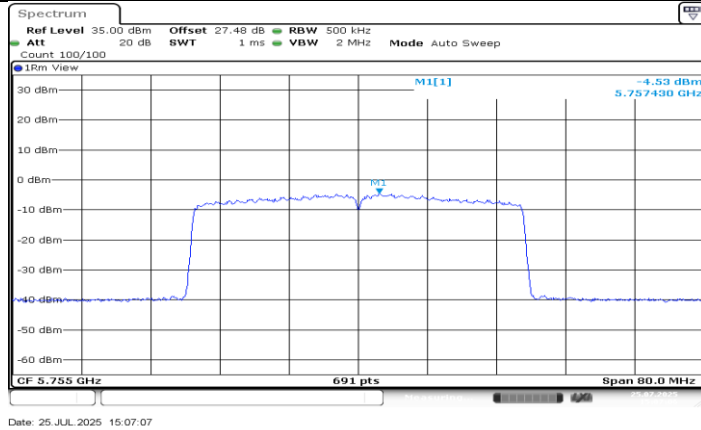
11AX40MIMO_Ant1_5710_UNII-3



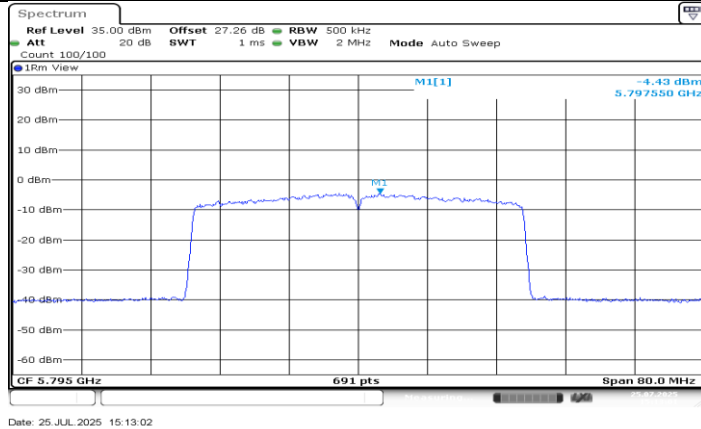
11AX40MIMO_Ant2_5710_UNII-3



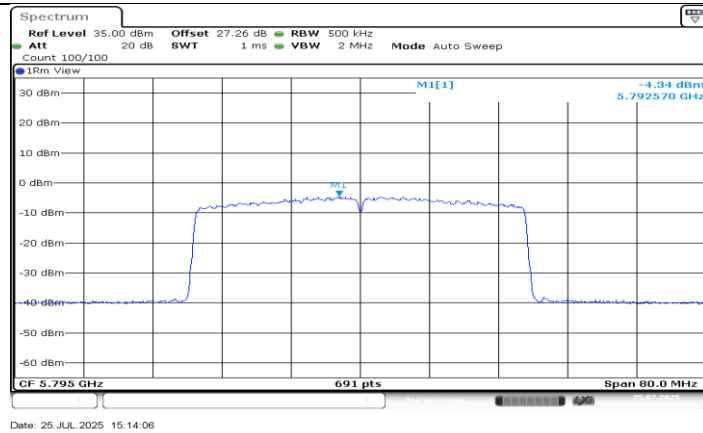
11AX40MIMO_Ant1_5755



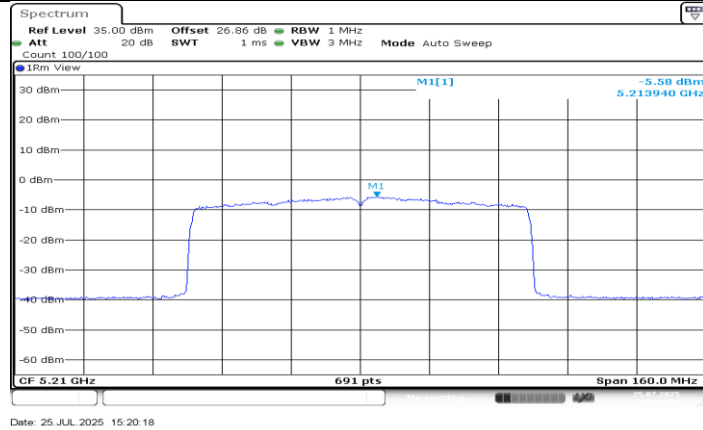
11AX40MIMO_Ant2_5755



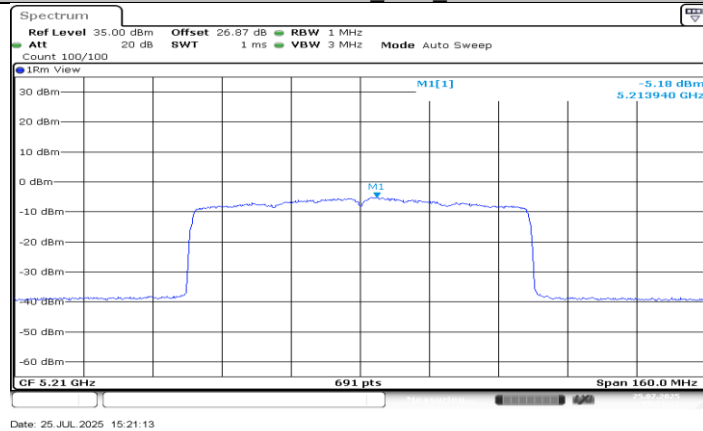
11AX40MIMO_Ant1_5795



11AX40MIMO_Ant2_5795



11AX80MIMO_Ant1_5210



11AX80MIMO_Ant2_5210